



การ์ดประมวลผลดิจิทัลภาพแบบโปรแกรมได้

RE-PROGRAMMABLE DIGITAL IMAGE PROCESSING CARD



ปริญญานิพนธ์นี้เป็นส่วนหนึ่งของการศึกษาตามหลักสูตรปริญญาวิศวกรรมศาสตรบัณฑิต

สาขาวิชาวิศวกรรมโทรคมนาคม

สถาบันเทคโนโลยีพระจอมเกล้าเจ้าคุณทหารลาดกระบัง

ปีการศึกษา ๒๕๔๑

เอกสารนี้เป็นเอกสารที่สงวนไว้สำหรับการใช้งานเพื่อการศึกษาเท่านั้น ไม่อนุญาตให้นำไปใช้ประโยชน์ด้านการค้า  
ไม่ว่ากรณีใดๆ ทั้งสิ้น อีกทั้งห้ามมิให้ตัดแปลงเนื้อหาและต้องอ้างอิงถึงเจ้าของเอกสารทุกครั้งที่มีการนำไปใช้

040380

การ์ดประมวลผลดิจิทัลภาพแบบโปรแกรมได้

RE-PROGRAMMABLE DIGITAL IMAGE PROCESSING CARD



ปริญญานิพนธ์นี้เป็นส่วนหนึ่งของการศึกษาตามหลักสูตรปริญญาวิศวกรรมศาสตรบัณฑิต

สาขาวิชาวิศวกรรมโทรคมนาคม

สถาบันเทคโนโลยีพระจอมเกล้าเจ้าคุณทหารลาดกระบัง

ปีการศึกษา 2541

เอกสารนี้เป็นเอกสารที่สงวนไว้สำหรับการใช้งานเพื่อการศึกษาเท่านั้น ไม่อนุญาตให้นำไปใช้ประโยชน์ด้านการค้า  
ไม่ว่ากรณีใดๆ ทั้งสิ้น อีกทั้งห้ามมิให้ดัดแปลงเนื้อหาและต้องอ้างอิงถึงเจ้าของเอกสารทุกครั้งที่มีการนำไปใช้

การ์ดประมวลผลภาพดิจิทัลแบบโปรแกรมได้

RE-PROGRAMMABLE DIGITAL IMAGE PROCESSING CARD

โดย นายปรเมศวร์ ห่อแก้ว 38014271

อาจารย์ที่ปรึกษา ผศ.ดร.ยุทธพงษ์ รังสรรค์เสรี

บทคัดย่อ

ปริญญานิพนธ์นี้นำเสนอการออกแบบการ์ดประมวลผลภาพดิจิทัลแบบโปรแกรมได้ สำหรับการใช้งานประยุกต์แบบเวลาจริง การ์ดดังกล่าวประกอบด้วยสองส่วนได้แก่ ส่วนแปลงสัญญาณวิดีโอให้เป็นข้อมูลภาพดิจิทัล และส่วนประมวลผลภาพ ส่วนแปลงสัญญาณภาพแปลงสัญญาณวิดีโอมาตรฐานให้เป็นข้อมูลภาพดิจิทัล 256 ระดับ ขนาด 1 ฟิลด์ เอาท์พุทต่อเข้ากับส่วนประมวลผลซึ่งออกแบบโดยใช้ FPGA (Field Programmable Gates Array) สามารถโปรแกรมให้ทำการประมวลผลใดๆ ภายในแมสค์ขนาด 3x3 จุดภาพได้ ผลลัพธ์ที่ได้รับจะถูกส่งออกมาด้วยอัตราเร็วเดียวกับอัตราการสแกนภาพวิดีโอ ผลการทดลองแสดงการประยุกต์ใช้งานการ์ดนี้ด้วยการโปรแกรมแมสค์ไบโนเมียลลงบน FPGA สำหรับการกำจัดสัญญาณรบกวนภายในภาพ

Abstract

This thesis presents the design of a re-programmable digital image-processing card for the use in real-time applications. The card is composed of two significant parts: the digitizer and the image processor. The digitizer can convert each frame of the standard video signal into a digital image with 256 gray levels, size of 1 field. The output is fed into the processor part, which is implemented by using FPGA (Field Programmable Gates Array), and can be programmed to perform any operations within a 3 x 3 mask. The result is output at the same rate of the video scan rate. An experimental result is given, with the FPGA programmed as a binomial mask, for the noise reduction purpose.

เอกสารนี้เป็นเอกสารที่สงวนไว้สำหรับการใช้งานเพื่อการศึกษาเท่านั้น ไม่อนุญาตให้นำไปใช้ประโยชน์ด้านการค้า  
ไม่ว่ากรณีใดๆ ทั้งสิ้น อีกทั้งห้ามมิให้ตัดแปลงเนื้อหาและต้องอ้างอิงถึงเจ้าของเอกสารทุกครั้งที่มีการนำไปใช้

# สารบัญ

	หน้า
บทที่ 1 บทนำ.....	1
1.1 หลักการและเหตุผล .....	1
1.2 วัตถุประสงค์ของปริิญญานิพนธ์.....	2
1.3 ขอบเขตของปริิญญานิพนธ์.....	2
1.4 เนื้อหาของรายงาน โดยสังเขป .....	3
บทที่ 2 ทฤษฎีและหลักการพื้นฐานพื้นฐาน.....	4
2.1 หลักการวิชันแมชชีน .....	4
2.1.1 เปรียบเทียบวิชันแมชชีนกับการมองเห็นของมนุษย์.....	4
2.1.2 นิยามของวิชันแมชชีน .....	4
2.1.3 องค์ประกอบของระบบวิชันแมชชีน .....	5
2.1.4 การจำแนกตามหน้าที่การทำงาน .....	5
2.2 เทคโนโลยี FPGA.....	5
2.2.1 กล่าวนำ .....	5
2.2.2 FPGA ตระกูล XC4000E และ XC4000X .....	7
2.2.3 ลักษณะของ FPGA อนุกรม XC4000E/XL.....	8
2.2.4 กลุ่มโครงสร้างพื้นฐาน .....	8
2.2.4.1 กลุ่มตรรกะแบบจัดสรรฐานได้.....	9
2.2.4.2 กลุ่มอินพุตเอาต์พุต .....	15
2.2.4.3 ตัวถอดรหัสขอบกว้าง .....	16
2.2.4.4 ตัวกำเนิดความถี่บนชิพ.....	16
2.2.5 การจัดสรรฐานบน FPGA .....	18
2.2.5.1 ขาที่มีจุดประสงค์พิเศษ .....	19
2.2.5.2 รูปแบบการจัดสรรฐาน.....	19
2.2.5.2.1 รูปแบบการ Master .....	20
2.2.5.2.2 รูปแบบการ Peripheral .....	20
2.2.5.2.3 รูปแบบการ Slave Serial.....	20

เอกสารนี้เป็นเอกสารที่สงวนไว้สำหรับการใช้งานเพื่อการศึกษาเท่านั้น ไม่อนุญาตให้นำไปใช้ประโยชน์ด้านการค้า  
ไม่ว่ากรณีใดๆ ทั้งสิ้น อีกทั้งห้ามมิให้ดัดแปลงเนื้อหาและต้องอ้างอิงถึงเจ้าของเอกสารทุกครั้งที่มีการนำไปใช้

## สารบัญ

	หน้า
2.2.5.3 การตั้งความถี่ CCLK .....	20
2.2.5.4 รูปแบบสตรึมข้อมูล .....	20
2.2.5.5 ลำดับขั้นตอนการจัดสัญญาณ .....	23
2.2.5.6 ไทม์มิงของการจัดสัญญาณ .....	24
<b>บทที่ 3 การออกแบบและการสร้าง.....</b>	<b>26</b>
3.1 การออกแบบการ์ดประมวลผลภาพดิจิทัล.....	26
3.1.1 ส่วนเชื่อมต่อกับเครื่องคอมพิวเตอร์.....	26
3.1.2 ส่วนแปลงสัญญาณภาพ.....	29
3.1.3 ส่วนสร้างสัญญาณควบคุม.....	30
3.1.4 ส่วนประมวลผลภาพและจัดเก็บข้อมูลภาพ .....	34
3.2 การออกแบบตัวกรองดิจิทัล.....	36
3.2.1 เทคนิคในการลดขั้นตอนการคำนวณ.....	36
3.2.2 ตัวกรองดิจิทัลในรูปของวงจรตรรก.....	38
3.3 การออกแบบโปรแกรมควบคุมการทำงาน.....	40
3.3.1 ส่วนติดต่อกับผู้ใช้.....	40
3.3.2 ส่วน โปรแกรม FPGA .....	40
3.3.3 ส่วนควบคุมการแปลงภาพและอ่านข้อมูลภาพจากการ์ดมาแสดงผล .....	41
<b>บทที่ 4 การทดลองและผลการทดลอง .....</b>	<b>33</b>
4.1 การทดลองส่วนการ์ดประมวลผลภาพดิจิทัล.....	43
4.2 การสร้างคอนโวลเวอร์ขนาด 3x3 บน FPGA .....	45
4.2.1 โปรแกรมลงบน FPGA.....	45
4.2.2 การนำผลที่ได้ไปใช้งาน.....	45
4.3 การทดลองใช้งานจริง.....	45
4.3.1 การแปลงสัญญาณภาพวิดีโอดั้งเดิม.....	45
4.2.2 การนำผลที่ได้ไปใช้งาน.....	45

เอกสารนี้เป็นเอกสารที่สงวนไว้สำหรับการใช้งานเพื่อการศึกษาเท่านั้น ไม่อนุญาตให้นำไปใช้ประโยชน์ด้านการค้า  
ไม่ว่ากรณีใดๆ ทั้งสิ้น อีกทั้งห้ามมิให้ดัดแปลงเนื้อหาและต้องอ้างอิงถึงเจ้าของเอกสารทุกครั้งที่มีการนำไปใช้

บทที่ 5 สรุปและวิจารณ์ .....50

ภาคผนวก ก โปรแกรมควบคุมการทำงานของการ์ดประมวลผลภาพดิจิทัลแบบโปรแกรมได้

ภาคผนวก ข แผ่นวงจรพิมพ์ของการ์ดประมวลผลภาพดิจิทัลแบบโปรแกรมได้

กิตติกรรมประกาศ

เอกสารอ้างอิง



เอกสารนี้เป็นเอกสารที่สงวนไว้สำหรับการใช้งานเพื่อการศึกษาเท่านั้น ไม่นอนุญาตให้นำไปใช้ประโยชน์ด้านการค้า  
ไม่ว่ากรณีใดๆ ทั้งสิ้น อีกทั้งห้ามมิให้ดัดแปลงเนื้อหาและต้องอ้างอิงถึงเจ้าของเอกสารทุกครั้งที่มีการนำไปใช้

## สารบัญรูปร่าง

รูปที่ 1.1 การประยุกต์ใช้งานประเภทติดตามวัตถุ .....	1
รูปที่ 1.2 วงจรรวม FPGA .....	2
รูปที่ 2.1 สถาปัตยกรรม FPGA.....	7
รูปที่ 2.2 แผนผังอย่างง่ายของ CLB อนุกรม XC4000 .....	10
รูปที่ 2.3 สัญลักษณ์แผงทางไฟของเซ็ค/วีเซ็ครวม.....	11
รูปที่ 2.4 เส้นทางเดินของตัวทคใน XC4000 .....	13
รูปที่ 2.5 เส้นทางเดินของตัวทคใน XC4000X.....	13
รูปที่ 2.6 ทรรกะตัวทคความเร็วสูง .....	14
รูปที่ 2.7 ทรรกะตัวทคเฉพาะ โดยละเอียดของ XC4000E .....	15
รูปที่ 2.8 แผนผังของ IOB ใน XC4000E .....	16
รูปที่ 2.9 แผนผังอย่างง่ายของ IOB ใน XC4000E .....	17
รูปที่ 2.10 ตัวอย่างการใช้ตัวถอดรหัสขอบในอนุกรม XC4000 .....	18
รูปที่ 2.11 สัญลักษณ์ตัวกำเนิดความถี่ในอนุกรม XC4000 .....	18
รูปที่ 2.12 ลำดับขั้นตอนการจัดสรรฐาน.....	22
รูปที่ 2.13 ผังเวลาและข้อกำหนดทางเวลาของแบบซิงโครนัส Peripheral .....	25
รูปที่ 3.1 แผนผังของการวัดประมวลผลภาพดิจิตอล .....	26
รูปที่ 3.2 วงจรส่วนเชื่อมต่อกับคอมพิวเตอร์ .....	28
รูปที่ 3.3 ส่วนแปลงสัญญาณภาพ.....	31
รูปที่ 3.4 ส่วนสร้างสัญญาณควบคุม.....	35
รูปที่ 3.5 ส่วนประมวลผลและจัดเก็บข้อมูลภาพ .....	37
รูปที่ 3.6 แผนผังวงจรรองดิจิตอลแบบทวินาม.....	38
รูปที่ 3.7 วงจรที่สมมูลกับแผนผังวงจรรองดิจิตอลแบบทวินาม.....	39
รูปที่ 3.8 แผนผังส่วนติดต่อกับผู้ใช้.....	41
รูปที่ 3.9 แผนผังส่วนโปรแกรม FPGA.....	42
รูปที่ 3.9 แผนผังส่วนควบคุมการแปลงภาพและอ่านข้อมูลภาพมาแสดงผล .....	42
รูปที่ 4.1 สัญญาณที่ได้จากวงจรคืนกระแสดตรง.....	43
รูปที่ 4.2 สัญญาณวีดีโอหลังจากผ่านวงจรขยาย.....	44
รูปที่ 4.3 สัญญาณหลังจากผ่านวงจรจำกัดระดับสัญญาณ .....	44
รูปที่ 4.4 ผังโดยรวมของระบบ .....	46
รูปที่ 4.5 เพิ่มข้อมูล RBT สำหรับการอ้างอิงตรวจสอบ .....	47
รูปที่ 4.6 ภาพดั้งเดิมจากกล้อง CCD .....	48
รูปที่ 4.7 ภาพที่ได้หลังจากผ่านคอนโวนิวเวอร์แบบทวินาม.....	49

## สารบัญตาราง

ตารางที่ 1.1 คุณสมบัติของการ์ดที่ต้องการออกแบบ.....	3
ตารางที่ 2.1 FPGA ในตระกูล XC4000E และ XC4000X.....	8
ตารางที่ 2.2 รูปแบบการจัดสัญญาณ .....	19
ตารางที่ 2.3 รูปแบบสตรึมข้อมูลสำหรับอนุกรม XC4000.....	21
ตารางที่ 3.1 รีจิสเตอร์ควบคุมการทำงาน .....	29



เอกสารนี้เป็นเอกสารที่สงวนไว้สำหรับการใช้งานเพื่อการศึกษาเท่านั้น ไม่อนุญาตให้นำไปใช้ประโยชน์ด้านการค้า  
ไม่ว่ากรณีใดๆ ทั้งสิ้น อีกทั้งห้ามมิให้ดัดแปลงเนื้อหาและต้องอ้างอิงถึงเจ้าของเอกสารทุกครั้งที่มีการนำไปใช้

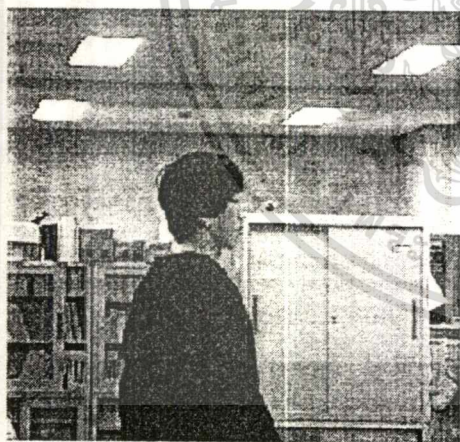
# บทที่ 1

## บทนำ

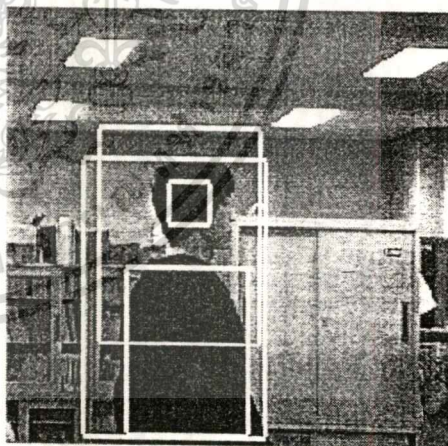
### 1.1 หลักการและเหตุผล

การประมวลผลภาพดิจิทัล ในบางกรณี อาทิเช่น การหาบริเวณของภาพเคลื่อนไหวเพื่อการระบุถึงวัตถุภายในภาพ (Object Identification) ในการประยุกต์ใช้งานประเภทการติดตามวัตถุ (Object Tracking) ดังแสดงในรูปที่ 1.1 จำเป็นจะต้องใช้การประมวลผลภาพแบบเวลาจริง ทั้งนี้เนื่องจากภาพดังกล่าวประกอบด้วยชุดของภาพ ซึ่งมีช่วงระยะเวลาห่างกันคงที่ และสัมพันธ์กัน ถึงแม้ว่าเทคโนโลยีซอฟต์แวร์ในปัจจุบันจะสามารถรองรับความต้องการดังกล่าวได้ในระดับหนึ่ง แต่การใช้ฮาร์ดแวร์ในการประมวลผลก็ยังเป็นที่นิยมน้อยกว่าแพร่หลาย เนื่องจากมีข้อดีคือ สามารถประมวลผลด้วยความเร็วสูงในระดับหลายสิบล้าน MHz ซึ่งเหมาะกับการประยุกต์ใช้งานกับข้อมูลภาพซึ่งมีปริมาณมาก และความเร็วเป็นสิ่งสำคัญโดยเฉพาะอย่างยิ่งภาพเคลื่อนไหว ระบบโดยรวมมีขนาดเล็ก เหมาะสำหรับการผลิตในเชิงอุตสาหกรรมทำให้ผลิตภัณฑ์มีราคาถูก

ปริญญาโทนี้เสนอวิธีการออกแบบการ์ดประมวลผลภาพดิจิทัลแบบโปรแกรมได้ ซึ่งแปลงสัญญาณวิดีโอมาตรฐานเป็นข้อมูลภาพดิจิทัลขนาด 384x288 จุดภาพ หรือ 1 เฟรม 256 ระดับความเทา แล้วนำมาผ่านการประมวลผลด้วยคอนโวลูเวอร์ (Convolver) ขนาด 3x3 จุดภาพ ซึ่งสัมพันธ์ได้ถูกโปรแกรมไว้ใน FPGA บนการ์ด ผลลัพธ์ที่ได้จัดเก็บไว้ในบัฟเฟอร์ พร้อมทั้งจะอ่านและใช้ประโยชน์โดยเครื่องคอมพิวเตอร์ต่อไป ทั้งนี้ระบบสามารถทำงานได้แบบเวลาจริงระดับอัตราของภาพวิดีโอ



ก ภาพต้นแบบ



ข ระบุวัตถุภายในภาพ

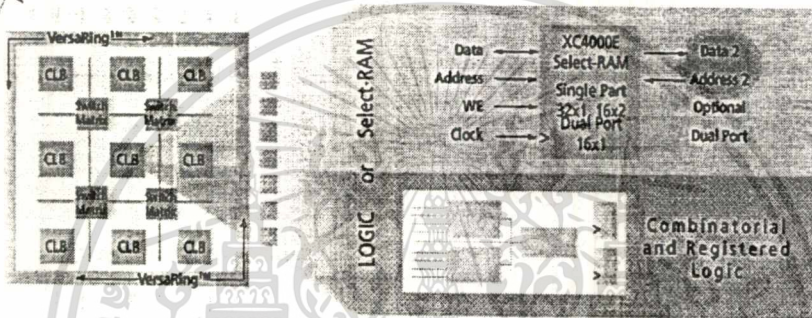
รูปที่ 1.1 การประยุกต์ใช้งานประเภทการติดตามวัตถุ

เทคโนโลยี FPGA (Field Programmable Gate Array) เป็นเทคโนโลยีของวงจรรวมขนาดใหญ่มาก (Very Large Scale Integrated Circuit: VLSI) ซึ่งได้มีการรวบรวมวงจรตรรกพื้นฐานจำนวนมากไว้ภายใน ดังเอกสารนี้เป็นเอกสารที่สแกนไว้สำหรับครูใช้งานเพื่อการศึกษาเท่านั้น เสนอแนะให้นำไปใช้ประโยชน์ด้านการค้า แสดงในรูปที่ 1.2 และมีขนาดออกมาใช้งานภายนอกอีกจำนวนหนึ่งขึ้นอยู่กับขนาดและชนิดของ FPGA ในไม่ว่ากรณีใดๆ ทั้งสิ้น อีกทั้งห้ามมิให้คัดแปลงเนื้อหาและต้องอ้างอิงถึงเจ้าของเอกสารทุกครั้งที่มีการนำไปใช้

การใช้งานจะโปรแกรมวงจร, พฤติกรรมของระบบ หรือ สมการตรรกะ (Logic Equation) เข้าไปในวงจรรวมผ่านการเชื่อมต่อที่ได้กำหนดไว้โดยผู้ผลิต



Input/Output Block (IOBs)



รูปที่ 1.2 วงจรรวม FPGA และ โครงสร้างภายใน

### 1.2 วัตถุประสงค์ของปฏิญานิพนธ์

1. ศึกษาเทคโนโลยีของ FPGA ในแง่ของ ทฤษฎี โครงสร้าง และการทำงานพื้นฐาน
2. ประยุกต์ใช้ FPGA กับตัวดำเนินการคอนโวลเวอ์ ที่ต้องการการหน่วงจุดภาพไม่เกิน 2 เส้นโดยใช้วงจรตรรก
3. ออกแบบและสร้างการ์ดประมวลผลภาพดิจิทัลแบบโปรแกรมได้ ซึ่งประกอบด้วยวงจรรวม FPGA

### 1.3 ขอบเขตของปฏิญานิพนธ์

เพื่อให้บรรลุวัตถุประสงค์ดังกล่าวข้างต้น จึงกำหนดขอบเขตของงานดังนี้

1. โปรแกรมคอนโวลเวอ์ที่นิยมใช้กันโดยทั่วไป ที่อยู่ในเมตริกซ์ ขนาดไม่เกิน 3x3 ลงไปบนวงจรรวม FPGA
2. ออกแบบและสร้างการ์ดประมวลผลภาพดิจิทัลแบบโปรแกรมได้ ซึ่งประกอบด้วยวงจรรวม FPGA โดยให้มีคุณสมบัติตามความต้องการดังตารางที่ 1.1

เอกสารนี้เป็นเอกสารที่สงวนไว้สำหรับการใช้งานเพื่อการศึกษาเท่านั้น ไม่อนุญาตให้นำไปใช้ประโยชน์ด้านการค้าไม่ว่ากรณีใดๆ ทั้งสิ้น อีกทั้งห้ามมิให้ดัดแปลงเนื้อหาและต้องอ้างอิงถึงเจ้าของเอกสารทุกครั้งที่มีการนำไปใช้

<i>Item</i>	<i>Specification</i>
<b>Video Signal</b>	
Standard	CCD
<b>Captured Image</b>	
Image size	388 x 284 pixels (single field)
Image depth	8-Bit gray scale
<b>Processing</b>	
Operator type	Any operator with 2-line delay, e.g. Convolver
External delay available	2 lines
<b>Host Interface</b>	
PC Interface type	8-bit ISA slot
Image transferring	8-bit I/O port

### ตารางที่ 1.1 คุณสมบัติของการ์ดที่ต้องการออกแบบ

3. ทดลองประสิทธิภาพและการทำงานของการ์ดที่สร้างกับการลดสัญญาณรบกวนภายในภาพ โดยใช้คอนโวลเวอร์ แบบไบโนเมียล ขนาด 3x3

#### 1.4 เนื้อหาของรายงานโดยสังเขป

บทที่ 1 บทนำ กล่าวถึงหลักการและเหตุผลของโครงการ วัตถุประสงค์ และขอบเขตของโครงการ

บทที่ 2 กล่าวถึงทฤษฎีเบื้องต้นที่ประยุกต์ใช้ในโครงการ ได้แก่ แนวคิดของเครื่องจักรที่สามารถมองเห็นได้ (Vision Machine) เทคโนโลยีของ FPGA และการใช้งานโดยละเอียด

บทที่ 3 กล่าวถึงขั้นตอนในการออกแบบการ์ดประมวลผลภาพดิจิทัลแบบโปรแกรมได้ การออกแบบและใช้งานตัวดำเนินการคอนโวลเวอร์บน FPGA โดยละเอียด และการออกแบบขั้นตอนวิธีและการเขียนโปรแกรมควบคุมการทำงาน

บทที่ 4 การทดลองและผลการทดลอง แสดงผลการทดสอบวงจรของการ์ดประมวลผลภาพดิจิทัลในส่วนแปลงสัญญาณภาพ (Digitizer) และผลจากการใช้งานจริงของการ์ดเปรียบเทียบกับใช้ผลของฮิสโตแกรม

บทที่ 5 สรุปและวิจารณ์ผลการทดลอง วิเคราะห์ถึงข้อเด่นข้อด้อยของโครงการ และเสนอแนะแนวทางในการพัฒนาต่อไป

เอกสารนี้เป็นเอกสารที่สงวนไว้สำหรับการใช้งานเพื่อการศึกษาเท่านั้น ไม่อนุญาตให้นำไปใช้ประโยชน์ด้านการค้า ไม่ว่าจะกรณีใดๆ ทั้งสิ้น อีกทั้งห้ามมิให้ดัดแปลงเนื้อหาและต้องอ้างอิงถึงเจ้าของเอกสารทุกครั้งที่มีการนำไปใช้

## บทที่ 2

### ทฤษฎีและหลักการพื้นฐาน

#### 2.1 หลักการวิชันแมชชีน (Machine Vision)

##### 2.1.1 เปรียบเทียบวิชันแมชชีนกับการมองเห็นของมนุษย์

วิชันแมชชีนคือเครื่องจักรทำหน้าที่แปลงข้อมูลภาพโดยไม่มีการสัมผัสและทำการวิเคราะห์แบบอัตโนมัติเพื่อใช้ในกระบวนการและกิจกรรมในการควบคุม

เมื่อเปรียบเทียบกับ การมองเห็นของมนุษย์ซึ่งประกอบด้วย ตา, ประสาทตา, และสมอง ตาทำหน้าที่สร้างภาพที่เกิดจากแสงโดยเลนส์ และตรวจจับโดยเรตินา (Retina) ประสาทตาส่งข่าวสารของภาพไปยังสมอง ซึ่งจะวิเคราะห์และแยกเอาข่าวสารภาพออกมา เพื่อที่วาระบบสมองส่วนอื่นจะนำข้อมูลนี้ไปใช้ควบคุมกล้ามเนื้อต่อไป

แบบจำลองของวิชันแมชชีนอุปมาได้กับระบบดังกล่าว กล้องถ่ายภาพซึ่งมีเลนส์สร้างภาพที่เกิดจากแสงบนตัวตรวจจับภาพ สัญญาณวิดีโอถูกส่งไปยังคอมพิวเตอร์ผ่านทางสายเคเบิลเพื่อวิเคราะห์และดึงเอาข่าวสารภาพที่จำเป็นออกมา ข่าวสารดังกล่าวจะถูกส่งไปยังส่วนควบคุมเครื่องจักรส่วนอื่นๆ จุดประสงค์ของวิชันแมชชีนคือพยายามเลียนแบบระบบการมองเห็นของมนุษย์ให้มากที่สุด เพื่อแทนที่การทำงานที่ต้องเสี่ยงอันตรายและต้องปฏิบัติซ้ำๆ เช่น ในสิ่งแวดล้อมที่ประกอบด้วยรังสีเอกซ์ (X-ray) เป็นต้น

##### 2.1.2 นิยามของวิชันแมชชีน (Vision Machine Definition)

คำนิยามอย่างเป็นทางการของวิชันแมชชีนที่เป็นที่ยอมรับกันได้แก่

“เครื่องจักรที่ทำหน้าที่เก็บข้อมูลภาพ โดยไม่มีการสัมผัสและมีการวิเคราะห์แบบอัตโนมัติเพื่อแยกเอาข้อมูลที่จำเป็นออกมาเพื่อจุดประสงค์ในการควบคุมกระบวนการหรือกิจกรรม”

คำสำคัญที่จำเป็นต้องกล่าวถึงได้แก่คำว่า “อัตโนมัติ” ซึ่งหมายถึงการทำงานได้ด้วยตัวเอง ระบบวิชันแมชชีนสามารถดำเนินงานได้โดยไม่ต้องมีการเกี่ยวข้องของมนุษย์ แต่เนื่องจากการความเชื่อถือได้ดังนั้น การประยุกต์ใช้งานของระบบอัตโนมัติดังกล่าวจึงถูกจำกัดโดยเทคโนโลยีปัจจุบัน

ส่วนคำว่า “การเก็บ” และ “การวิเคราะห์” แสดงถึงความแตกต่างจากทัศนอุปกรณ์ ทางอิเล็กทรอนิกส์อื่น เช่น โทรทัศน์จะทำหน้าที่เก็บข้อมูลภาพอย่างเดียวโดยไม่มีการวิเคราะห์ ในขณะที่เครื่องคอมพิวเตอร์จะทำหน้าที่วิเคราะห์ภาพโดยไม่ทำการเก็บข้อมูลภาพโดยตรง

ส่วนคำว่า “ไม่สัมผัส” เพื่อแบ่งแยกออกจากเครื่องมือตรวจจับผลิตภัณฑ์ทางอุตสาหกรรมซึ่งต้องมีการสัมผัสวัตถุโดยตรง ข้อดีของการไม่สัมผัสคือ มีความเร็วสูง และสามารถเชื่อถือได้

เนื่องจากวิชันแมชชีนจะเก็บข้อมูลเฉพาะ “ข้อมูลที่ต้องการ” เพื่อให้บรรลุจุดประสงค์ที่ต้องการซึ่งข้อมูลที่ต้องการจะต้องนิยามให้เหมาะสมกับการประยุกต์ใช้งานที่ต้องการ ส่วน “การควบคุมกระบวนการหรือกิจกรรม” เป็นกระบวนการโดยปกติของการผลิต เช่นการควบคุมแขนหุ่นยนต์ให้ติดอุปกรณ์แบบเวลาจริง

เอกสารนี้เป็นเอกสารที่สงวนไว้สำหรับการใช้งานเพื่อการศึกษาเท่านั้น ไม่อนุญาตให้นำไปใช้ประโยชน์ด้านการค้า

ไม่ว่ากรณีใดๆ ทั้งสิ้น อีกทั้งห้ามมิให้ตัดแปลงเนื้อหาและต้องอ้างอิงถึงเจ้าของเอกสารทุกครั้งที่มีการนำไปใช้

### 2.1.3 องค์ประกอบของระบบวิชันแมชชีน (Vision Machine System Components)

ระบบวิชันแมชชีนส่วนมากประกอบด้วย ส่วนสำคัญสามประการ ได้แก่ แหล่งแสง, กล้องถ่ายภาพ, และตัวประมวลผล เพื่อวิเคราะห์ภาพ

บางระบบอุปกรณ์ดังกล่าวสามารถแบ่งแยกได้อย่างชัดเจน ในขณะที่บางระบบอุปกรณ์ทั้งหมดประกอบรวมกันอยู่ในชิ้นส่วนเดียว

### 2.1.4 การจำแนกตามการประยุกต์ใช้งาน (Application Categories)

การประยุกต์ใช้งานของวิชันแมชชีนได้แก่ การประกันคุณภาพ คือการแยกผลิตภัณฑ์ที่เสียออกจากผลิตภัณฑ์ที่ดี, การเรียงเรียง คือการจัดเรียงวัตถุตามลักษณะทางกายภาพ, การควบคุมกระบวนการ คือการตรวจจับผลิตภัณฑ์ในลักษณะเวลาจริงเพื่อนำข้อมูลไปใช้ในการควบคุม, การจับถือวัตถุ เพื่อทำงานอัตโนมัติด้วยความเร็วสูง, การแนะนำหุ่นยนต์ เช่น การทำงานอัตโนมัติโดยหุ่นยนต์ที่อาศัยการมองเห็น, การตรวจสอบและปรับแต่ง เช่นผลิตภัณฑ์ประเภทเครื่องมือตรวจจับความร้อน, การตรวจตราเครื่องจักร เพื่อป้องกันการลงทุนที่อาจเสียหายหากเครื่องจักรทำงานผิดพลาด และ ในด้านความปลอดภัยในการดูแลการทำงานของคนงาน เป็นต้น

### 2.1.5 การจำแนกตามหน้าที่การทำงาน (Function Categories)

การทำงานของวิชันแมชชีนได้แก่ การวัด โดยไม่มีการสัมผัสเพื่อการประยุกต์ใช้งานทางอุตสาหกรรมที่ต้องการความเร็วและต้องการความเชื่อถือได้, การตรวจสอบ เพื่อประกันคุณภาพของผลิตภัณฑ์ที่ออกมาจากกระบวนการผลิต, การบ่งชี้ โดยการพิจารณาสถานะโดยอ่านสัญลักษณ์บนวัตถุ, การทำความเข้าใจ โดยพิจารณาจุดเด่นของวัตถุเพื่อระบุลักษณะเฉพาะตัว, หาดำแหน่ง โดยการหาดำแหน่งที่แม่นยำโดยสัมพันธ์กับการทำความเข้าใจวัตถุ และการติดตาม แบบเวลาจริงโดยการระบุตำแหน่งของวัตถุอย่างต่อเนื่อง

## 2.2 เทคโนโลยี FPGA (Field Programmable Gate Arrays)

### 2.2.1 กล่าวนำ

FPGA เป็นชิป VLSI ซึ่งมีหน้าที่พิเศษส่วนมากคล้ายกับ ASIC อื่นๆ อย่างไรก็ตาม สำหรับ FPGA การทำงานถูกโปรแกรมโดยผู้ใช้ซึ่งโดยทั่วไปมักจะเป็นผู้ออกแบบ หลังจากที่ได้อุปกรณ์ไปครั้งหนึ่งแล้วชิป (เรียกว่าส่วน FPGA) จะกลายเป็นชิปซึ่งมีจุดประสงค์เฉพาะซึ่งตัว FPGA ถูกออกแบบและโปรแกรมสำหรับจุดประสงค์นั้น

ส่วน FPGA บรรจุด้วยชิ้นส่วนตรรกะที่โปรแกรมได้, เส้นทางเชื่อมต่อระหว่างกันที่โปรแกรมได้, และส่วนต่ออินพุท/เอาต์พุทที่โปรแกรมได้ซึ่งเชื่อมต่อส่วน FPGA เข้ากับวงจร อิเล็กทรอนิกส์ซึ่งอยู่ภายนอกตัวถึงรูปที่ 2.1 ทั้งหมดนี้สามารถโปรแกรมได้โดยวิศวกรภาคสนามโดยไม่ต้องการการเข้าถึงหรือการรองรับจากผู้ผลิต ผู้ใช้เพียงแต่ซื้อ FPGA วางมาจากผู้ขาย ตัว FPGA เองถูกสร้างมาสำหรับการกำหนดเองอย่างเต็มที่

FPGA วางอันหนึ่งมีราคาสูงกว่า Gate Arrays สมมูลกัน แต่ถ้ามีการค้นพบข้อผิดพลาดใดหลังจากที่ได้โปรแกรม FPGA ไปแล้วจะสามารถโปรแกรมส่วน FPGA ใหม่ได้ด้วยการออกแบบซึ่งแก้ไขแล้ว ทำให้ได้

ราคาที่สูงมากและสามารถทำได้ทันที ในทางตรงข้ามการแก้ไขข้อผิดพลาดของชิพที่ผลิตเองและสามารถกำหนดได้ทั้งบางส่วนหรือทั้งหมดหรือ Gate Arrays ต้องการการตรวจสอบข้อผิดพลาดและการนำกลับไปแก้ไขใหม่หลายครั้ง

ก่อนที่จะมีการคิดค้น FPGA ขึ้นมานั้นการออกแบบเหล่านี้ไม่สามารถสร้างได้จริง หรืออาจจะเลียนแบบการทำงานโดยใช้ไมโครคอนโทรลเลอร์ (Microcontroller) หรืออุปกรณ์ประเภท SSI ซึ่งต้องการกำลังงานจำนวนมาก และไม่มีความน่าเชื่อถือ (นั่นคือสามารถทำงานล้มเหลวได้หลังจากปฏิบัติงานไปได้ระยะเวลาหนึ่ง) และไม่ทนทาน (นั่นคือไม่สามารถทำงานได้ภายใต้ภาวะแวดล้อมที่มีการกระทบกระเทือนทางกลและทางไฟฟ้า) และต้องการชิ้นส่วนติดตั้งขนาดใหญ่ (ในนัยของพื้นที่บนบอร์ด, กล่องบรรจุ, หรือวงจรร้อย) เมื่อเปรียบเทียบกับการออกแบบที่สมมูลกันซึ่งสร้างบนชิพเดี่ยว ราคาการผลิตสำหรับชิพ (ซึ่งมีราคาสูงขึ้นเรื่อยๆทุกครั้งที่ชิพถูกสร้างขึ้นโดยไม่สามารถเชื่อถือได้และไม่ผ่านการตรวจสอบ) น้อยกว่าผลิตภัณฑ์ซึ่งตั้งบนพื้นฐานของไมโครคอนโทรลเลอร์หรือ SSI มากๆ ซึ่งมีการออกแบบในแนวคิดสำคัญเหมือนกัน

ดังนั้น FPGA รวมข้อดีของการสร้างในระดับชิพซึ่งมีความยืดหยุ่นของการออกแบบที่ตั้งอยู่บนพื้นฐานของไมโครคอนโทรลเลอร์ โดยไม่ต้องมีการตรวจสอบข้อผิดพลาดและส่งกลับไปแก้ไขซึ่งมีในการออกแบบแบบกำหนดเองและ Gate Arrays เมื่อผู้ออกแบบส่วนมากมีความเชื่อมั่นในแนวทางนี้ ตลาด FPGA ถูกคาดหวังให้ขยายตัวอย่างต่อเนื่อง ในขณะที่ไมโครคอนโทรลเลอร์และการออกแบบแบบกำหนดเองทั้งหมดอยู่ในช่วงชะลอการเติบโต

บล็อกตรรกะแบบโปรแกรมได้ (Programmable Logic Block) ใน FPGA สามารถสร้างได้เป็นทั้งการดำเนินการทางตรรกะแบบการรวมกันโดยไม่คำนึงถึงลำดับ (Combination) และแบบลำดับ (Sequential) และแต่ละบล็อกสามารถโปรแกรมได้อิสระต่อกัน การเชื่อมต่อที่สามารถโปรแกรมได้เสนอความต้านทานเปิด (ON-resistance) มากกว่าที่จะเป็นการเชื่อมต่อทางโลหะซึ่งใช้ในการผลิตแบบกำหนดเองทั้งหมดทำให้ทำงานได้ช้ากว่าชิพที่ออกแบบเองทั้งหมด บล็อกอินพุต/เอาต์พุตสามารถเป็นกันชนสัญญาณไฟฟ้าทั้งขาเข้า, ขาออก, หรือทั้งสองทิศทาง และยังสามารถทำให้เป็นสถานะความต้านทานสูงได้ โดยที่ไม่ต้องการการทำงานของวงจรรองที่ต่ออยู่ด้วย ลักษณะเด่นเหล่านี้สามารถโปรแกรมได้โดยผู้ใช้งานและสามารถออกแบบสิ่งที่คิดค้นใหม่ได้หลายอย่างโดยใช้เครื่องมือการออกแบบระดับสูงซึ่งแปลงข้อกำหนดทางพฤติกรรมที่ป้อนโดยผู้ออกแบบในภาษาที่เหมาะสมในลักษณะรูปแบบของบิตซึ่งสามารถส่งไปยัง FPGA เพื่อที่จะสร้างขึ้นส่วนที่ทำหน้าที่เฉพาะอย่างดังเช่นชิพ ASIC เครื่องมือเหล่านี้มีราคาไม่สูงนัก (เมื่อเปรียบเทียบกับเครื่องมือที่ใช้กับอุปกรณ์ประเภทกำหนดเองและ Gate Arrays) และมักจะทำงานบนเครื่องคอมพิวเตอร์ส่วนบุคคลที่มีราคาไม่แพง

ชนิดที่สำคัญของเทคโนโลยีแบ่งออกได้เป็น

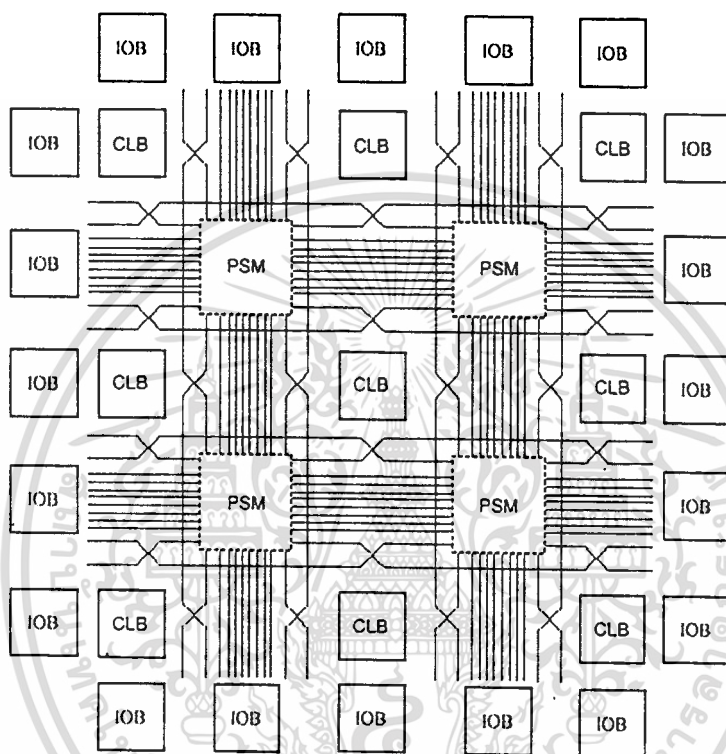
- FPGA ที่อาศัย Static RAM (RAM)
- FPGA ที่อาศัย Anti-fuse

FPGA ที่อาศัย SRAM มีบล็อกตรรกะที่ค่อนข้างซับซ้อน โปรแกรมที่ป้อนเข้าไปถูกบรรจุอยู่ภายในโดยใช้ SRAM ซึ่งควบคุมทรานซิสเตอร์ส่งผ่านที่ขนถ่ายสัญญาณไฟฟ้าภายใน FPGA สำหรับโครงการนี้ใช้เทคโนโลยี FPGA ชนิดนี้

ไม่ว่ากรณีใดๆ ทั้งสิ้น อีกทั้งห้ามมิให้ตัดแปลงเนื้อหาและต้องอ้างอิงถึงเจ้าของเอกสารทุกครั้งที่มีการนำไปใช้

ชิ้นส่วนโปรแกรมซึ่งเริ่มต้นนำกระแสเมื่อถูกทำลายถูกเรียกว่า Anti-fuse ซึ่งตรงกันข้ามกับฟิวส์ประเภทที่หยุดนำกระแสเมื่อถูกทำลาย สำหรับ FPGA ที่อาศัย Anti-fuse มี Anti-fuse เล็กๆ ที่เชื่อมต่อ บล็อกตรรกะที่โปรแกรมได้และบล็อกอินพุต/เอาต์พุต

แต่ละเทคโนโลยีมีข้อดีและข้อด้อยของตัวเองซึ่งทั้งสองก่อให้เกิดการพัฒนาของ VLSI ที่รุดหน้า เพิ่มศักยภาพของแนวความคิดของผู้ใช้ และคืนมูลค่ากลับไปสู่ผู้ใช้เอง ซึ่งจะลดราคาของผลิตภัณฑ์ที่สร้างจากผู้ใช้ งาน FPGA



รูปที่ 2.1 สถาปัตยกรรมของ FPGA

### 2.2.2 FPGA ตระกูล XC4000E และ XC4000X

FPGA (Filed Programmable Gate Arrays) อนุกรม XC4000 ของบริษัท Xilinx เป็น FPGA ประสิทธิภาพสูง และความจุสูง ซึ่งให้ข้อดีของ CMOS VLSI (Very Large Scale Integrated circuit) แม้ว่าจะยังคงหลีกเลี่ยงค่าใช้จ่ายเริ่มต้น วัฏจักรการพัฒนาที่นาน และความเสียด่างของ เกทอะเรย์ (Gate Array) แบบดั้งเดิม

FPGA ดังกล่าวประกอบด้วย ความคล่องตัวทางสถาปัตยกรรม หน่วยความจำแบบ RAM ที่ฝังตัวอยู่ในชิพซึ่งแบบ สองพอร์ต (Dual Port) และมีการทริกโดยใช้ขอบ ความเร็วที่เพิ่มขึ้น และมีทรัพยากรในการจัดหาเส้นทางมากมาย นอกจากนี้ยังมีซอฟต์แวร์ที่ใช้ในการออกแบบที่ซับซ้อน ความจุ และสมรรถนะสูง อนุกรม XC4000E และ XC4000 ประกอบด้วย FPGA 20 เบอร์ ดังแสดงในตาราง 2.1

เอกสารนี้เป็นเอกสารที่สงวนไว้สำหรับการใช้งานเพื่อการศึกษาเท่านั้น ไม่อนุญาตให้นำไปใช้ประโยชน์ด้านการค้า ไม่ว่าจะกรณีใดๆ ทั้งสิ้น อีกทั้งห้ามมิให้ดัดแปลงเนื้อหาและต้องอ้างอิงถึงเจ้าของเอกสารทุกครั้งที่มีการนำไปใช้

Device	Logic Cells	Max Logic Gates (NO RAM)	Max RAM Bits (No Logic)	Typical Gate Range (Logic and RAM)	CLB Matrix	Total CLB	Number of Flip-Flops	Max User I/O
XC4003E	238	3000	3200	2000-5000	10X10	100	360	80
XC4005E/XL	466	5000	6272	3000-9000	14X14	196	616	112
XC4006E	608	6000	8192	4000-12000	16X16	256	768	128
XC4008E	770	8000	10368	6000-15000	18X18	324	936	144
XC4010E/XL	950	10000	12800	7000-20000	20X20	400	1120	160
XC4013E/XL	1368	13000	18432	10000-30000	24X24	576	1536	192
XC4020E/XL	1862	20000	25088	13000-40000	28X28	784	2016	224
XC4025E	2432	25000	32768	15000-45000	32X32	1024	2560	256
XC4028E/XL	2432	28000	32768	18000-50000	32X32	1024	2560	256
XC4036E/XL	3078	36000	41472	22000-65000	36X36	1296	3168	288
XC4044XL	3800	44000	51200	27000-80000	40X40	1600	3840	320
XC4052XL	4598	52000	61952	33000-100000	44X44	1936	4576	352
XC4062XL	5472	62000	73728	40000-130000	48X48	2304	5376	384
XC4085XL	7448	85000	100352	55000-180000	56X56	3136	7168	448

ตารางที่ 2.1 FPGA ในตระกูล XC4000E และ XC4000X

### 2.2.3 ลักษณะของ FPGA ออนุกรม XC4000E/XL

อนุกรม XC4000 ถูกสร้างขึ้นด้วยสถาปัตยกรรมแบบโปรแกรมได้ของ CLB (Configurable Logic Block) ที่เที่ยงตรงและยืดหยุ่น มีการเชื่อมต่อระหว่างกันด้วยลำดับชั้นของทรัพยากรการจัดหาเส้นทางที่คล่องตัว และมีประสิทธิภาพ และแวดล้อมด้วย IOB (Input/Output Block) ที่โปรแกรมได้โดยรอบ ซึ่งประกอบกันเป็นทรัพยากรการจัดหาเส้นทางที่กว้างขวางเพื่อสร้างเป็นรูปแบบการเชื่อมต่อที่ซับซ้อน

อุปกรณ์เหล่านี้สามารถแก้ไขดัดแปลงได้โดยถ่ายข้อมูลพื้นฐานเข้าไปภายในชิ้นส่วนหน่วยความจำภายใน FPGA สามารถอ่านข้อมูลด้วยตัวเองได้ทั้งจาก PROM ภายนอกแบบขนานหรืออนุกรม (Master Mode) หรือข้อมูลพื้นฐานสามารถเขียนเข้าไปใน FPGA จากอุปกรณ์ภายนอก (Slave and Peripheral Mode)

เนื่องจาก FPGA ของ Xilinx สามารถโปรแกรมใหม่ได้ไม่จำกัดจำนวนครั้ง และสามารถใช้ในการออกแบบที่มีการปรับเปลี่ยนซึ่งฮาร์ดแวร์มีการเปลี่ยนแปลงแบบพลวัต หรือเมื่อฮาร์ดแวร์มีการปรับตัวสำหรับการประยุกต์ใช้งานของผู้ใช้ที่แตกต่างกัน

### 2.2.4 กลุ่มโครงสร้างพื้นฐาน (Basic Building Block)

FPGA ของ Xilinx ประกอบด้วยชิ้นส่วนหลักที่โปรแกรมได้สองส่วน กล่าวคือ กลุ่มตรรกะแบบโปรแกรมได้ (Configurable Logic Block : CLB) และ กลุ่มอินพุทเอาต์พุท (Input/Output Block)

CLB จัดเตรียมชิ้นส่วนการทำงานสำหรับสร้างตรรกะของผู้ใช้

ไม่ว่ากรณีใดๆ ทั้งสิ้น อีกทั้งห้ามมิให้ดัดแปลงเนื้อหาและต้องอ้างอิงถึงเจ้าของเอกสารทุกครั้งที่มีการนำไปใช้

- IOB จัดเตรียมการเชื่อมต่อระหว่างขาของชิ้นส่วนกับเส้นสัญญาณภายใน  
นอกจากนี้ยังมีวงจรชนิดอื่นอีก 3 แบบ

- กันชนสามสถานะ (Tristate Buffer : TBUF) ซึ่งจับส่วนที่อยู่บนระนาบอยู่ภายในแต่ละ CLB
- ตัวถอดรหัสขอบกว้าง (Wide Edge Decoder) อยู่รอบนอกของแต่ละอุปกรณ์
- ตัวสร้างกำเนิดความถี่ภายในชิพ

ทรัพยากรการเชื่อมต่อระหว่างกันแบบ โปรแกรม ได้จัดการหาเส้นทางในการเชื่อมต่ออินพุตและเอาต์พุตของชิ้นส่วนที่โปรแกรมได้เหล่านี้ด้วยโครงข่ายที่เหมาะสม

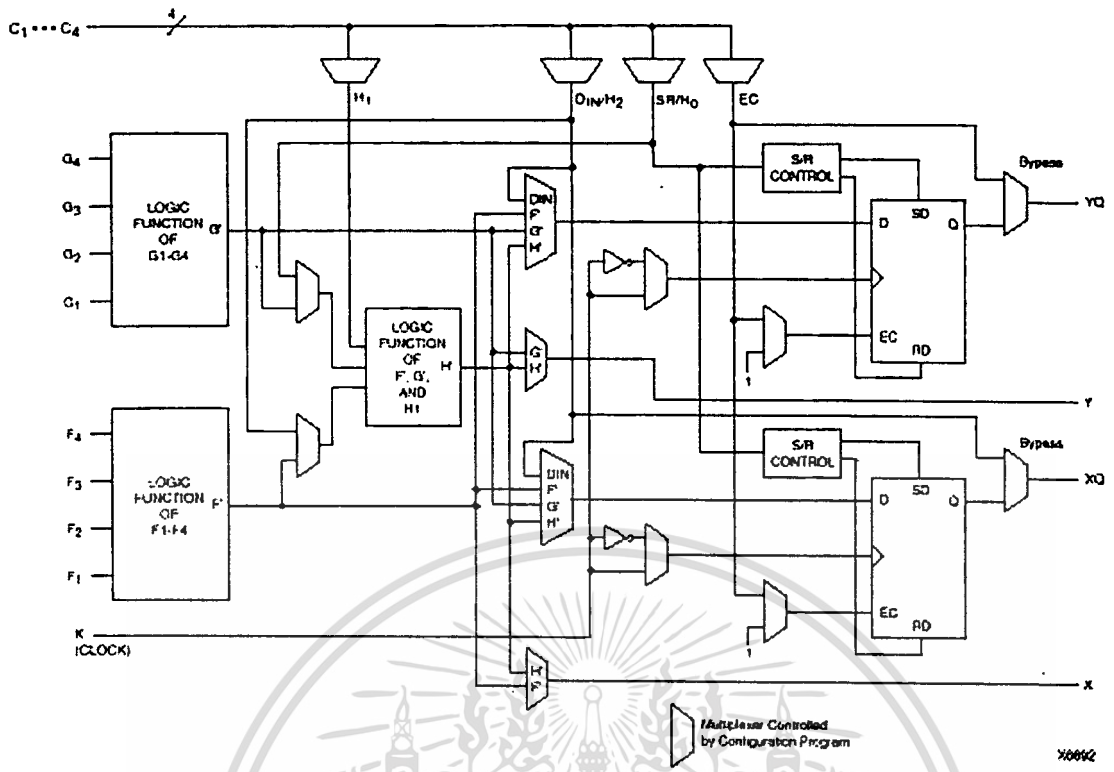
หน้าที่การทำงานของแต่ละกลุ่มสามารถปรับเปลี่ยนได้ระหว่างการจัดสรรฐานโดยการโปรแกรมชิ้นส่วนหน่วยความจำสถิตย์ภายใน ค่าดังกล่าวถูกเก็บไว้ในหน่วยความจำเหล่านี้เพื่อใช้ในการพิจารณาหน้าที่ทางตรรกและการเชื่อมต่อที่สร้างขึ้นใน FPGA ในหัวข้อนี้จะเป็นการอธิบายรายละเอียดของกลุ่มการทำงานเหล่านี้โดยละเอียด

#### 2.2.4.1 กลุ่มตรรกะแบบจัดสรรฐานได้ (Configurable Logic Block: CLB)

กลุ่มตรรกะแบบโปรแกรมได้สร้างตรรกะส่วนใหญ่ใน FPGA ชิ้นส่วนหลักใน CLB แสดงในรูปที่ 2.2 ตัวกำเนิดฟังก์ชัน 4 อินพุต (4-Input Function Generator) F และ G เสนอความคล่องตัวได้ไม่จำกัด การรวมกันของฟังก์ชันทางตรรกะส่วนมากต้องการไม่เกิน 4 อินพุต อย่างไรก็ตาม ฟังก์ชันที่สามคือ H ได้ถูกเตรียมขึ้น ตัวกำเนิดฟังก์ชัน H มีสามอินพุต อินพุตเหล่านี้ไม่ว่าจะเป็น 0 1 หรือ 2 สามารถเป็นเอาต์พุตของ F และ G ส่วนอินพุตที่เหลือมาจากภายนอก CLB ดังนั้น CLB สามารถสร้างฟังก์ชันได้ถึง 9 อินพุต เช่นการตรวจสอบพาริตี (Parity) หรือการเปรียบเทียบค่าแบบขยายของสี่อินพุต สองกลุ่ม

แต่ละ CLB ประกอบด้วยชิ้นส่วนบรรจุที่สามารถใช้เก็บเอาต์พุตของตัวกำเนิดฟังก์ชัน อย่างไรก็ตาม ชิ้นส่วนบรรจุและตัวกำเนิดฟังก์ชันเหล่านี้สามารถใช้งานเป็นอิสระต่อกันได้ ชิ้นส่วนบรรจุเหล่านี้สามารถจัดสรรฐานให้เป็น Flip-Flop ได้ในทั้งอุปกรณ์ XC4000E และ XC4000XL ในส่วนของ XC4000X ยังสามารถเลือกได้ว่าจะจัดสรรฐานให้เป็น Latch ได้ด้วย DIN สามารถใช้เป็นอินพุตโดยตรงไปยังหนึ่งในสองชิ้นส่วนจัดเก็บทั้งสอง H1 สามารถจับอีกส่วนหนึ่งผ่านทางตัวกำเนิดฟังก์ชัน H เอาต์พุตของตัวกำเนิดฟังก์ชันยังสามารถจับเอาต์พุตเป็นอิสระจากเอาต์พุตของชิ้นส่วนจัดเก็บ ความคล่องตัวนี้เพิ่มความจุทางตรรกะและการจัดหาเส้นทางที่ไม่ซับซ้อน 13 CLB อินพุตและ 4 CLB เอาต์พุต จัดเตรียมการเข้าถึงตัวกำเนิดฟังก์ชันและชิ้นส่วนจัดเก็บอินพุตและเอาต์พุตเหล่านี้เชื่อมต่อไปยังทรัพยากรในการเชื่อมต่อระหว่างกันภายนอกกลุ่ม แบ่งออกเป็นส่วนประกอบย่อยๆ ได้แก่

ตัวกำเนิดฟังก์ชัน (Function Generator) ประกอบด้วยอินพุตทั้งสี่ที่เป็นอิสระต่อกันได้ถูกจัดเตรียมให้ในแต่ละตัวกำเนิดฟังก์ชันทั้งสอง (F1-F4 และ G1-G4) ตัวกำเนิดฟังก์ชันแต่ละตัวเหล่านี้ ซึ่งมีเอาต์พุตได้แก่ 'F' และ 'G' มีความสามารถในการสร้างฟังก์ชันค่าความจริง (Boolean) ที่ถูกนิยามโดยที่มี 4 อินพุต ตัวกำเนิดฟังก์ชันถูกสร้างขึ้นเป็นหน่วยความจำตารางเสาะหา (Look-up Table) ดังนั้นความล่าช้าในการส่งผ่านขึ้นอยู่กับ การสร้างฟังก์ชันเอกสารที่สงวนไว้สำหรับการใช้งานเพื่อการศึกษาเท่านั้น ไม่อนุญาตให้นำไปใช้ประโยชน์ด้านการค้า  
ไม่ว่ากรณีใดๆ ทั้งสิ้น อีกทั้งห้ามมิให้ดัดแปลงเนื้อหาและต้องอ้างอิงถึงเจ้าของเอกสารทุกครั้งที่มีการนำไปใช้



รูปที่ 2.2 แผนผังอย่างง่ายของ CLB อนุกรม XC4000 (ไม่แสดง RAM และตรรกะ)

ตัวกำเนิดฟังก์ชันที่สาม ได้แก่ H' สามารถสร้างฟังก์ชันค่าความจริงด้วยอินพุตทั้งสาม สองในสามอินพุตเหล่านี้สามารถเลือกได้ว่าจะเป็นเอาต์พุตของ F' และ G' หรืออีกทางเลือกหนึ่ง หนึ่งหรือสองของอินพุตเหล่านี้สามารถมาจากภายนอก CLB (H1, H2) อินพุตที่สาม จะต้องมาจากข้างนอกกลุ่ม (H1) สัญญาณจากตัวกำเนิดฟังก์ชันสามารถออกจาก CLB ทางเอาต์พุตทั้งสอง F' หรือ H' สามารถเชื่อมต่อไปยังเอาต์พุต X G' หรือ H' สามารถเชื่อมต่อไปยังเอาต์พุต Y

CLB สามารถใช้ในการสร้างฟังก์ชันต่อไปนี้

- ฟังก์ชันใดๆที่มีสี่ตัวแปร รวมกับอีกสองฟังก์ชันใดๆที่มีสี่ตัวแปรที่ไม่สัมพันธ์กัน รวมกับอีกสามฟังก์ชันใดๆที่มีสามตัวแปรที่ไม่เกี่ยวเนื่องกัน
- ฟังก์ชันใดๆที่มีห้าตัวแปร
- ฟังก์ชันใดๆที่มีสี่ตัวแปรร่วมกับบางฟังก์ชันที่มีหกตัวแปร
- บางฟังก์ชันที่มีเก้าตัวแปร

การสร้างฟังก์ชันกว้างในกลุ่มเคียวลดทั้งจำนวนของกลุ่มที่ต้องการและความล่าช้าในเส้นทางผ่านของสัญญาณ ยังผลให้มีการเพิ่มของความจุและความเร็ว ความคล่องตัวของตัวกำเนิดฟังก์ชัน CLB ปรับปรุงความเร็วของระบบอย่างมีนัยสำคัญ ยิ่งไปกว่านั้นซอฟต์แวร์เครื่องมือออกแบบสามารถทำงานร่วมกับแต่ละตัวกำเนิดฟังก์ชันได้อย่างเป็นอิสระ ความยืดหยุ่นนี้ปรับปรุงการใช้งานของหน่วย

เอกสารนี้เป็นเอกสารที่สงวนไว้สำหรับการใช้งานเพื่อการศึกษาเท่านั้น ไม่อนุญาตให้นำไปใช้ประโยชน์ด้านการค้า ไม่ว่าจะกรณีใดๆ ทั้งสิ้น อีกทั้งห้ามมิให้ดัดแปลงเนื้อหาและต้องอ้างอิงถึงเจ้าของเอกสารทุกครั้งที่มีการนำไปใช้

ฟลิปฟล็อป (Flip-Flop) CLB สามารถผ่านเอาท์พุทรวมไปยังโครงข่ายที่เชื่อมต่อระหว่างกันได้ แต่ก็ยังคงสามารถเก็บผลลัพธ์รวมหรือข้อมูลที่เข้ามาอื่นๆ ในฟลิปฟล็อปหนึ่งหรือสองตัว และเชื่อมต่อเอาท์พุทของฟลิปฟล็อปเหล่านั้นไปยังโครงข่ายที่เชื่อมต่อกันได้เช่นกัน ฟลิปฟล็อปชนิด D แบบทริกโดยใช้ขอบสองตัวมีอินพุทสัญญาณนาฬิกา (K) และด้วยอมให้สัญญาณนาฬิกาผ่าน (EC) ร่วมกัน อินพุทสัญญาณนาฬิกาตัวใดตัวหนึ่งหรือทั้งสองตัวสามารถทำให้ผ่านได้แบบถาวรก็ได้

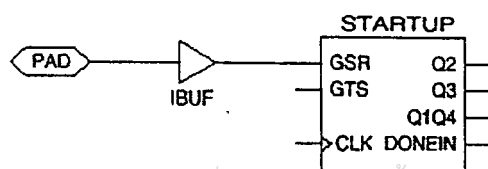
ตัวค้างข้อมูล หรือแลตช์ (Latch : XC4000X only) ชั้นส่วนจัดเก็บของ CLB สามารถจัดตั้งฐานให้เป็นแลตช์ แลตช์ทั้งสองมีอินพุทสัญญาณนาฬิกาและด้วยอมให้สัญญาณนาฬิกาผ่านร่วมกัน

อินพุทสัญญาณนาฬิกา (Clock Input) ฟลิปฟล็อปแต่ละตัวสามารถทริกบนขอบขาขึ้นหรือขาของสัญญาณนาฬิกา ขอสัญญาณนาฬิกาใช้ร่วมกันโดยชั้นส่วนจัดเก็บทั้งสอง อย่างไรก็ตามสัญญาณนาฬิกาถูกกลับค่าอย่างเป็นทางการสำหรับแต่ละชั้นส่วนจัดเก็บ ตัวกลับค่าแต่ละตัวที่อยู่ทีอินพุทสัญญาณนาฬิกาถูกรับเอาไว้ใน CLB อย่างอัตโนมัติ

ด้วยอมให้สัญญาณนาฬิกาผ่าน (Clock Enable) สัญญาณยอมให้สัญญาณนาฬิกาผ่าน (EC) ทำงานที่สถานะสูง (High) ขา EC ถูกใช้ร่วมกันสำหรับชั้นส่วนจัดเก็บทั้งสอง ถ้าไม่ต่อขาทั้งสองสัญญาณนาฬิกาจะผ่านไปได้โดยปริยายในขณะที่ทำงาน EC ไม่สามารถกลับค่าได้ภายใน CLB

เซตและรีเซต (Set/Reset) อินพุทแบบไม่เข้าจังหวะกัน (Asynchronous) ของชั้นส่วนจัดเก็บ (SR) สามารถจัดตั้งฐานให้ป็นได้ทั้งเซตและรีเซต ทางเลือกการจัดตั้งฐานนี้พิจารณาสถานะที่ฟลิปฟล็อปปฏิบัติงานหลังจากการจัดตั้งฐาน และยังพิจารณาผลกระทบของ พัลส์เซตและรีเซตรวม (Global Set/Reset) ระหว่างการทำงานตามปกติ และผลกระทบของพัลส์ที่ขา SR ของ CLB เซตและรีเซตทั้งสามทำหน้าที่สำหรับฟลิปฟล็อปเดี่ยวใดๆ ถูกควบคุมโดยบิตข้อมูลบิตตั้งฐานเดียวกัน สถานะเซตและรีเซตสามารถระบุได้อิสระต่อกันสำหรับแต่ละฟลิปฟล็อป อินพุทนี้ยังสามารถขยับยั้งได้อิสระต่อกันสำหรับแต่ละฟลิปฟล็อปอีกด้วย สถานะเซตและรีเซตถูกระบุโดยการใช้สมบัติของ INIT หรือโดยการจัดวางสัญญาณลักษณะฟลิปฟล็อปเซตหรือรีเซตในห้องสมุดที่เหมาะสม SR ทำงานที่สถานะสูง และไม่สามารถกลับค่าได้ภายใน CLB

เซตรีเซตรวม (Global Set/Reset) สายเซต/รีเซตที่แยกออกมาต่างหาก (ไม่ได้แสดงในรูปที่ 2.2 ) ตั้งหรือล้างชั้นส่วนจัดเก็บระหว่างการเริ่มต้นจ่ายไฟ (Power-Up) การจัดตั้งฐานใหม่ หรือเมื่อชายเซตเฉพาะถูกขับให้ทำงาน ข่ายร่วมนี้ (GSR) ไม่ได้เกี่ยวข้องกับทรัพยากรจัดหาเส้นทางอื่น แต่ใช้โครงข่ายกระจายเฉพาะ แต่ละฟลิปฟล็อปถูกจัดตั้งฐานให้เป็นได้ทั้ง เซตและรีเซตรวมในทำนองเดียวกันกับสัญญาณเซตและรีเซตท้องถิ่น (SR) ถูกระบุ ดังนั้นถ้าฟลิปฟล็อปถูกเซตโดย SR จะถูกเซตหรือรีเซตด้วย GSR ด้วย ในทำนองเดียวกันฟลิปฟล็อปที่ถูกรีเซตจะถูกรีเซตทั้งโดย SR และ GSR



เอกสารนี้เป็นเอกสารที่สงวนไว้สำหรับการใช้งานเพื่อการศึกษาเท่านั้น ไม่สามารถนำไปใช้ประโยชน์ด้านการค้า

ไม่ว่ากรณีใดๆ ทั้งสิ้น อีกทั้งรูปที่ 2.3 สัญญาณลักษณะเส้นทางไฟของเซต/รีเซตรวม เอกสารทุกครั้งที่มีการนำไปใช้

GSR สามารถถูกขับจากขาใดขาหนึ่งที่โปรแกรมโดยผู้ใช้ให้เป็นอินพุทของเช็ท/รีเช็ทรวมได้ เพื่อที่จะใช้ ข่ายรวมดังกล่าว จัดวางสัญญาณลักษณะ PAD และกันชนอินพุทในแผนทางไฟฟ้าหรือรหัส HDL ขับขา GSR ด้วย สัญญาณลักษณะ STARTUP ดังแสดงในรูปที่ 2.3 ตำแหน่งของขาที่เฉพาะเจาะจงสามารถกำหนดให้กับอินพุทนี้ได้ โดยใช้สมบัติหรืออ้างถึง LOC ดังเช่น PAD ที่ผู้ใช้สามารถโปรแกรมได้อื่นๆ ตัวกลับค่าสามารถเป็นทางเลือกที่จะแทรกหลังกันชนอินพุทเพื่อที่จะกลับค่าที่รับได้ของสัญญาณเช็ทและรีเช็ทรวม อีกทางเลือกหนึ่ง GSR สามารถขับจากโหนด (Node) ภายในใดๆ

อินพุทและเอาต์พุทของข้อมูล (Data Input and Output) แหล่งกำเนิดข้อมูลอินพุทของชิ้นส่วนจัดเก็บ สามารถโปรแกรมได้ และถูกขับโดยฟังก์ชัน F' G' และ H' ใดๆ หรือโดยอินพุทไปยังกลุ่มโดยตรง (Direct In Block : DIN) ฟลิปฟลอปหรือแลตซ์ขับเอาต์พุท XQ และ YQ ของ CLB เส้นทางป้อนผ่านแบบความเร็วสูง สองเส้นทางแสดงดังรูปที่ 2.2 มัลติเพลกเซอร์ (Multiplexer) แบบสองไปหนึ่งบนแต่ละเอาต์พุท XQ และ YQ เลือกระหว่างเอาต์พุทของชิ้นส่วนจัดเก็บหรืออินพุทควบคุมใดๆ เส้นทางข้ามผ่าน (Bypass) นี้บางครั้งถูกใช้ โดยตัวจัดหาเส้นทางอัตโนมัติเพื่อที่จะจัดกำลังของสัญญาณภายในใหม่

สัญญาณควบคุม (Control Signal) มัลติเพลกเซอร์ใน CLV ทำหน้าที่ สำหรับสี่อินพุทควบคุม (C1-C4 ในรูปที่ 2.2) ไปยังสี่สัญญาณควบคุมภายใน (H1, DIN/H2, SR/H0, และ EC) อินพุทใดๆเหล่านี้สามารถขับ สัญญาณควบคุมภายในทั้งสี่ใดๆได้ เมื่อฟังก์ชันตรรกะถูกจัดให้ทำงาน อินพุททั้งสี่คือ

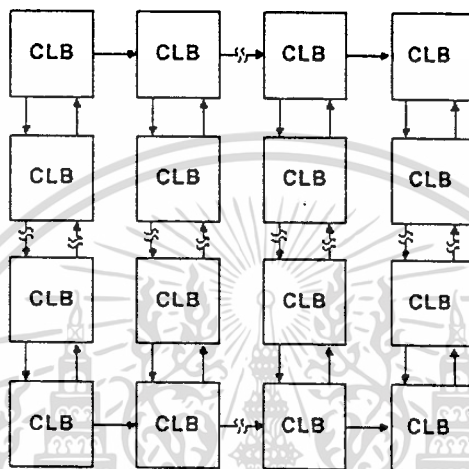
- EC - สัญญาณยอมให้สัญญาณนาฬิกาผ่าน
- SR/H0 - สัญญาณเช็ทและรีเช็ทแบบ ไม่เข้าจังหวะ หรือตัวกำเนิดฟังก์ชัน H อินพุท 0
- DIN/H2 - เส้นทาง โดยตรงหรือตัวกำเนิดฟังก์ชัน H อินพุท 2
- H1 - ตัวกำเนิดฟังก์ชัน H อินพุท 1

เมื่อฟังก์ชันหน่วยความจำถูกจัดให้ทำงาน อินพุททั้งสี่คือ

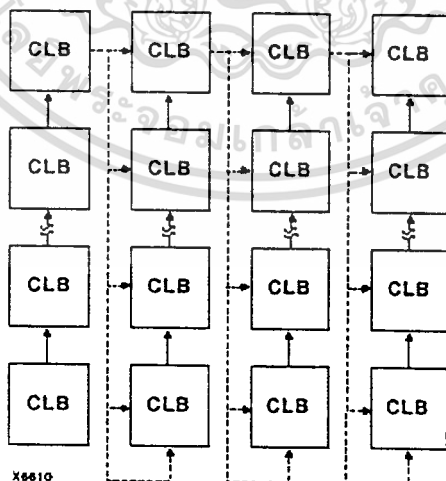
- EC - สัญญาณยอมให้สัญญาณนาฬิกาผ่าน
- WE - สัญญาณยอมให้มีการเขียน
- D0 - อินพุทข้อมูลไปยัง ตัวกำเนิดฟังก์ชัน F และหรือ G
- D1 - อินพุทข้อมูลไปยัง ตัวกำเนิดฟังก์ชัน G (ในแบบ 16x1 และ 16x2) หรือบิตที่ 5 ของตำแหน่ง (ในแบบ 32x1)

ตรรกะตัวทดความเร็วสูง (Fast Carry Logic) ตัวกำเนิดฟังก์ชัน F และ G ใน CLB แต่ละตัวบรรจุจุด ตรรกะทางพีชคณิตไว้สำหรับการสร้างสัญญาณตัวทดและตัวยืมความเร็วสูง เอาต์พุทที่เพิ่มขึ้นมานี้ส่งผ่านไป บนตัวกำเนิดฟังก์ชันของ CLB ที่ติดกัน ลูกโซ่ตัวทดเป็นอิสระต่อทรัพยากรการจัดหาเส้นทางตามปกติ ตรรกะ ตัวทดความเร็วสูงโดยเฉพาะนี้เพิ่มประสิทธิภาพและสมรรถนะของตัวบวก (Adder) ตัวลบ (Subtractor) ตัว สะสม (Accumulator) ตัวเปรียบเทียบ (Comparator) และตัวนับ (Counter) ทำให้สามารถประยุกต์ใช้ในการใช้ งานที่ไม่สามารถทำได้โดย FPGA รุ่นก่อนหน้าซึ่งมีความเร็วไม่เพียงพอ อาทิเช่นการใช้งานโดยทั่วไปสอง ประเภทได้แก่ การคำนวณค่าเลื่อน (Offset) ของตำแหน่งความเร็วสูงในไมโครโปรเซสเซอร์หรือในระบบ กราฟิก และการบวกความเร็วสูงในการประมวลผลสัญญาณดิจิทัล (Digital Signal Processing) ตัวกำเนิด ฟังก์ชันสี่อินพุทสองตัวสามารถถูกจัดตั้งฐานให้เป็นตัวบวกสองบิตที่มีตัวทดแบบซ่อนภายในซึ่งสามารถ

ขยายให้เป็นความยาวใดๆ วงจรตัวทศโดยเฉพาะเจาะจงนี้เร็วและมีประสิทธิภาพมากพอที่จะสามารถละทิ้งวิธีการเพิ่มความเร็วดั้งเดิม เช่นการสร้างและส่งผ่านตัวทศ ถึงแม้ว่าจะเป็นที่ระดับ 16 บิต หรือสูงสุดที่ระดับ 32 บิต ธรรมชาติความเร็วนี้อาจเป็นหนึ่งในจุดเด่นที่สำคัญซึ่งมีมากกว่านี้ของอนุกรม XC4000 เพิ่มความเร็วการนับและการคำนวณทางพีชคณิตสูงถึงพิกัด 70 MHz ลูกโซ่ตัวทศในอุปกรณ์ XC4000E สามารถวิ่งขึ้นหรือลงได้ ที่หัวและท้ายสคมภที่ไม่มี CLB อยู่ข้างบนและข้างล่าง ตัวทศถูกส่งผ่านไปทางขวา ดังแสดงในรูปที่ 2.4 เพื่อที่จะปรับปรุงความเร็วในอุปกรณ์ความจุสูงอย่างเช่น XC4000X ซึ่งมีศักยภาพพอสำหรับลูกโซ่ที่ขยาวมาก ลูกโซ่ตัวทศจะเดินทางขึ้นบนเท่านั้น ดังแสดงในรูปที่ 2.5

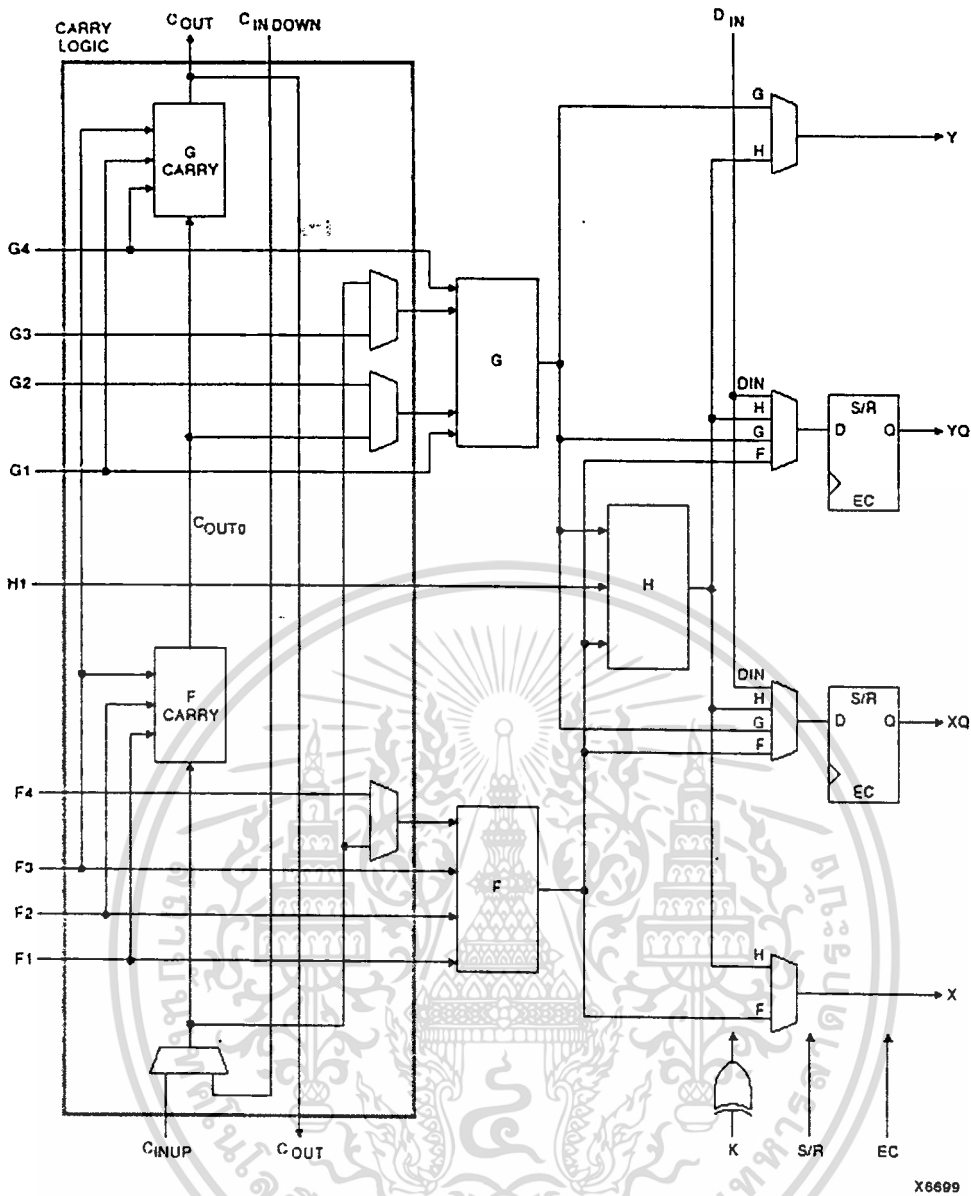


รูปที่ 2.4 เส้นทางเดินของตัวทศใน XC4000E



รูปที่ 2.5 เส้นทางเดินของตัวทศใน XC4000X (เส้นประใช้การเชื่อมต่อกันแบบธรรมดา)

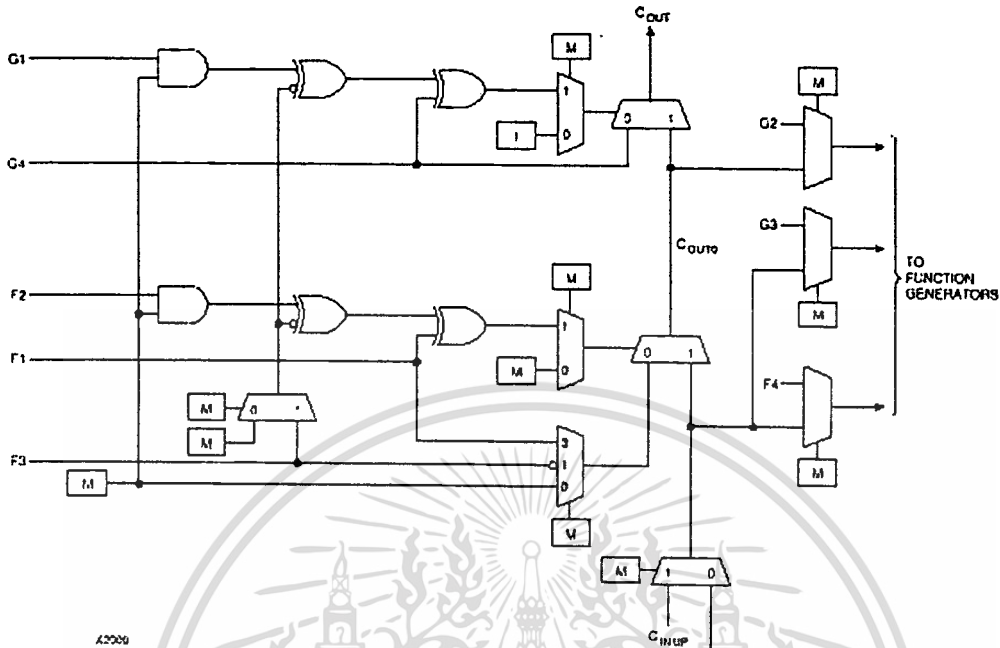
เอกสารนี้เป็นเอกสารที่สงวนไว้สำหรับการใช้งานเพื่อการศึกษาเท่านั้น ไม่อนุญาตให้นำไปใช้ประโยชน์ด้านการค้า ไม่ว่าจะกรณีใดๆ ทั้งสิ้น อีกทั้งห้ามมิให้ดัดแปลงเนื้อหาและต้องอ้างอิงถึงเจ้าของเอกสารทุกครั้งที่มีการนำไปใช้



รูปที่ 2.6 ทรรกะตัวทคความเร็วสูง (บริเวณที่แรเงาไม่มีใน XC4000X)

ยิ่งไปกว่านั้นการเชื่อมต่อตามมาตรฐานสามารถใช้ในการจัดหาเส้นทางให้กับสัญญาณตัวทคในทิศทางลงได้ด้วย รูปที่ 2.6 แสดง CLB ที่มีทรรกะตัวทคความเร็วสูงเฉพาะเจาะจง ทรรกะตัวทคใน XC4000X มีความคล้ายคลึงกันยกเว้นที่มี COUT อยู่ที่ด้านบนเท่านั้นและสัญญาณ CINDOWN ไม่มีดังแสดงในรูปที่ 2.6 ทรรกะตัวทคใช้ตัวถูกดำเนินการ (Operand) และอินพุตควบคุมร่วมกันกับตัวกำเนิดฟังก์ชัน เอาท์พุตตัวทคนี้ต่อไปยังตัวกำเนิดฟังก์ชัน ที่เอาท์พุตเหล่านั้นรวมอยู่กับตัวถูกดำเนินการเพื่อที่จะสร้างผลบวก รูปที่ 2.7 แสดงรายละเอียดของทรรกะตัวทคของ XC4000E แพนผังแสดงสิ่งที่บรรจุอยู่ในกรอบชื่อว่า CARRY LOGIC ในรูปที่ 2.6 ทรรกะตัวทคมีความคล้ายกันมาก แต่มีลติเพลกเซอร์ในลูกโซ่ตัวทคส่งผ่านถูกยับยั้งเพื่อลดความล่าช้า ยิ่งไปกว่านั้นในมัลติเพลกเซอร์บนเส้นทาง G4 มีหน่วยความจำที่โปรแกรมได้ 0 อินพุตซึ่งยอมให้ G4 เชื่อมต่อไปยัง COUT ดังนั้น G4 จึงกลายเป็นเส้นทางเริ่มต้นความเร็วสูงที่เพิ่มขึ้นมาสำหรับตัวทคเข้า ทรรกะตัวทคเข้า

สามารถเข้าถึงได้โดยจัดวางสัญลักษณ์ฐานสองพิเศษ หรือโดยใช้ Xilinx Relationally Placed Macros (RPMs) ซึ่งรวมอยู่แล้วในสัญลักษณ์เหล่านี้



รูปที่ 2.7 ทรานส์ดิวเซอร์เฉพาะโดยละเอียดของ XC4000E

#### 2.2.4.2 กลุ่มอินพุทเอาต์พุท (Input/Output Block : IOB)

กลุ่มอินพุทเอาต์พุทที่ผู้ใช้สามารถจัดตั้งฐานได้จัดเตรียมการเชื่อมต่อระหว่างขาภายนอกชิพกับทรานส์ดิวเซอร์ภายใน แต่ละ IOB ควบคุมขาหนึ่งของชิพ และสามารถจัดตั้งฐานให้เป็นสัญญาณอินพุท เอาต์พุทหรือสองทิศทางได้

รูปที่ 2.8 แสดงผังง่าย ๆ ของ IOB ของ XC4000E สำหรับ IOB ของ XC4000X บรรจุดเด่นพิเศษบางประการที่ไม่ได้รวมอยู่ใน IOB ของ XC4000E ฟังก์ชันเหล่านี้ถูกเน้นในแผนผังในรูปที่ 2.9 และจะมีการกล่าวถึงในหัวข้อนี้ จุดเด่นดังกล่าวจะถูกนิยามอย่างเด่นชัด ถ้าไม่มีการระบุเป็นอย่างอื่นจะมีอยู่ในทั้ง อุปกรณ์ XC4000E และ XC4000X ประกอบด้วยส่วนสำคัญดังต่อไปนี้

สัญญาณอินพุท IOB (IOB Input Signal) สองเส้นทางได้แก่ I1 และ I2 ในรูปที่ 2.8 และ 2.9 จะนำสัญญาณอินพุทไปยังอาร์เรย์ อินพุทยังต่อไปยังรีจิสเตอร์อินพุทที่สามารถโปรแกรมให้เป็นที่ตั้งฟลิปฟล็อปที่ทริกโดยใช้ขอบหรือแลตซ์ที่ตอบสนองต่อระดับ การเลือกสามารถทำได้โดยวางสัญลักษณ์ที่เหมาะสม ตัวอย่างเช่น IFD เป็นอินพุทฟลิปฟล็อปพื้นฐาน (ทริกโดยใช้ขอบขาขึ้น) และ ILD เป็นแลตซ์อินพุทพื้นฐาน (ตอบสนองระดับสูง) สามารถสร้างความแตกต่างด้วยการกลับค่าสัญญาณนาฬิกา และการรวมกันของแลตซ์ และฟลิปฟล็อปบางประการสามารถสร้างได้ภายใน IOB เดียว ดังที่อธิบายไว้ใน XACT Libraries Guide

รีจิสเตอร์อินพุท (Register Input) สัญญาณ I1 และ I2 ที่ออกจากกลุ่มสามารถนำได้ทั้งสัญญาณอินพุทโดยตรงหรือเป็นรีจิสเตอร์ได้ ชิ้นส่วนจัดเก็บที่ฝั่งอินพุทและเอาต์พุทในแต่ละ IOB จะมีอินพุทสัญญาณ

### 2.2.5.2.1 รูปแบบ Master

รูปแบบ Master สามรูปแบบใช้ตัวกำเนิดความถี่ภายในในการสร้างสัญญาณนาฬิกาจัดสรรฐาน (CCLK) เพื่อที่จะขับอุปกรณ์ Slave และยังสร้างตำแหน่งและ Timing สำหรับ PROM ภายในที่บรรจุข้อมูล

รูปแบบ Master Parallel (Up หรือ Down) สร้างสัญญาณนาฬิกา CCLK และตำแหน่ง PROM และรับข้อมูลเป็นไบต์ขนาน ข้อมูลถูกส่งเรียงเข้าไปใน FPGA ในรูปแบบของกรอบข้อมูล การเลือก Up หรือ Down เป็นการสร้างตำแหน่งเริ่มต้น 0 หรือ 3FFFF เพื่อให้เข้ากันได้กับระบบการอ้างอิงตำแหน่งของไมโครโปรเซสเซอร์ที่ต่างกัน รูปแบบ Master Serial สร้าง CCLK และรับข้อมูลแบบอนุกรมจาก PROM อนุกรม

### 2.2.5.2.2 รูปแบบ Peripheral

รูปแบบ Peripheral ทั้งสองแบบรับข้อมูลกว้าง 1 ไบต์มาจากบัส สถานะ RDY/BUSY มีไว้เพื่อเป็นสัญญาณตรวจสอบ ในรูปแบบอะซิงโครนัส (Asynchronous) ตัวกำเนิดความถี่ภายในจะสร้าง CCLK จำนวนมากเพื่อถ่ายเรียงข้อมูล CCLK ยังขับอุปกรณ์ Slave อื่นได้อีก ในรูปแบบซิงโครนัส (Asynchronous) สัญญาณนาฬิกาจะถูกส่งมาจากภายนอกไปยัง CCLK เพื่อถ่ายเรียงข้อมูล

### 2.2.5.2.3 รูปแบบ Slave Serial

ในรูปแบบ Slave Serial FPGA รับข้อมูลการจัดสรรฐานที่ขอบขาขึ้นของ CCLK และหลังจากถ่ายข้อมูลเรียบร้อยแล้ว จะส่งผ่านข้อมูลออกเพิ่มเติมเพื่อเข้าจังหวะอีกครั้งหนึ่ง ที่ขอบขาลงถัดไปของ CCLK อุปกรณ์ Slave หลายตัวสามารถเชื่อมโยงเข้าด้วยกันได้ด้วยอินพุต DIN โดยที่อุปกรณ์สามารถจัดสรรฐานไปพร้อมๆกันได้

### 2.2.5.3 การตั้งความถี่ CCLK

สำหรับรูปแบบ Master CCLK สามารถสร้างได้ความถี่ใดความถี่หนึ่งใน 2 ความถี่ โดยปริยายอยู่ในแบบช้า ความถี่ตกอยู่ในช่วง 0.5 MHz ถึง 1.25 MHz สำหรับ XC400E และ XC400EX สำหรับ XC400XL จะอยู่ในช่วง 0.6 MHz ถึง 1.8 MHz ใน CCLK รูปแบบเร็ว ความถี่อยู่ในช่วง 4 MHz และ 10 MHz สำหรับ XC400EX และอยู่ในช่วง 5 MHz ถึง 15 MHz สำหรับ XC400XL ความถี่ถูกเลือกโดยใช้ทางเลือกเมื่อใช้โปรแกรมสร้างสายบิต ถ้า Master อนุกรม XC4000 ขับ Slave ตระกูล XC3000 หรือ XC2000 ต้องใช้ CCLK รูปแบบช้า ยิ่งไปกว่านั้น Master XC400XL ถ้าขับ XC4000E หรือ XC4000EX ควรใช้ CCLK แบบช้า โดยปริยายจะเป็นแบบช้า

### 2.2.5.4 รูปแบบสตรีมข้อมูล (Data Stream Format)

รูปแบบสตรีมข้อมูล (บิตสตรีม) เหมือนกันสำหรับการจัดสรรฐานทุกรูปแบบ รูปแบบของสตรีมข้อมูลแสดงในตารางที่ 2.3 ข้อมูลบิตอนุกรมถูกอ่านจากซ้ายไปขวา และไบต์ขนานจะถูกประกอบขึ้นจากบิตเหล่านี้ โดยที่บิตแรกของแต่ละ ไบต์จะกำหนดให้เป็น D0

สตรีมข้อมูลจัดสรรฐานเริ่มต้นด้วยสายของ หนึ่งแปดตัว รหัสพรีแอมเบิล (Preamble) ตามด้วยค่านับของความยาว 24 บิต และแยกแต่ละฟิลด์ด้วยหนึ่ง ส่วนหัวนี้ตามด้วยข้อมูลจัดสรรฐานจริงในกรอบข้อมูล ความยาวและจำนวนของกรอบขึ้นอยู่กับชนิดของอุปกรณ์ แต่ละกรอบเริ่มด้วยฟิลด์เริ่มต้น และจบด้วยการตรวจสอบข้อผิดพลาด รหัสโพสแอมเบิล (Poatamble) จำเป็นต้องมีเพื่อเป็นสัญญาณว่าถึงจุดสุดท้ายของข้อมูลของแต่ละอุปกรณ์ ในทุกกรณีไบต์เริ่มต้น (Start-up) ของข้อมูลจำเป็นต้องมีเพื่อจัดเตรียมสัญญาณนาฬิกาสี่ลูกเพื่อใช้เป็นลำดับเริ่มต้นที่จุดสิ้นสุดของการจัดสรรฐาน Daisy Chain ยาวๆจำเป็นต้องมีไบต์เริ่มต้นเพิ่มเติมเพื่อที่จะเลื่อนข้อมูลสุดท้ายผ่านไปยังลูกโซ่ ไบต์เริ่มต้นทั้งหมดจะไม่พิจารณา ไบต์เหล่านี้จะไม่รวมอยู่ในบิตสตรีมที่สร้างขึ้นโดยซอฟต์แวร์ของ Xilinx

การเลือกการตรวจสอบความผิดพลาดแบบ CRC หรือ non-CRC ขอมให้มีขึ้นโดยซอฟต์แวร์สร้างบิตสตรีม การตรวจสอบความผิดพลาดแบบ non-CRC ตรวจสอบจุดสิ้นสุดของกรอบที่ต้องการสำหรับแต่ละกรอบ สำหรับการตรวจสอบความผิดพลาดแบบ CRC ซอฟต์แวร์จะคำนวณ CRC วิ่งและแทรกเศษย่อยตรวจสอบ 4 บิตหนึ่งเดียวที่จุดสุดท้ายของแต่ละกรอบ การตรวจสอบ CRC แบบ 11 บิตของกรอบสุดท้ายของ FPGA รวมถึง 7 บิตสุดท้ายของบิตข้อมูล

ผลการตรวจจับความผิดพลาดยังผลให้เกิดการยับยั้งการถ่ายข้อมูลและดึงนา /INIT ลง ในรูปแบบ Master CCLK และสัญญาณตำแหน่งจะยังคงปฏิบัติงานอยู่ภายนอก ผู้ใช้ต้องตรวจสอบนา /INIT และเริ่มต้นจัดสรรฐานใหม่โดยการจ่ายพัลส์ลบให้กับนา /PROGRAM หรือเข้าสู่วัฏจักรของ Vcc

Data Type	All Other Modes (D0...)
Fill Byte	11111111b
Preamble Code	0010b
Length Count	COUNT(23:0)
Fill Bits	1111b
Start Filed	0b
Data Frame	DATA(n-1:0)
CRC or Constant Field Check	xxxx (CRC) หรือ 0010b
Extend Write Cycle	-
Postamble Code	01111111b
Start-Up Bytes	xxh

ตารางที่ 2.3 รูปแบบสตรีมข้อมูลสำหรับอนุกรม XC4000

เอกสารนี้เป็นเอกสารที่สงวนไว้สำหรับการใช้งานเพื่อการศึกษาเท่านั้น ไม่อนุญาตให้นำไปใช้ประโยชน์ด้านการค้า ไม่ว่ากรณีใดๆ ทั้งสิ้น อีกทั้งห้ามมิให้ตัดแปลงเนื้อหาและต้องอ้างอิงถึงเจ้าของเอกสารทุกครั้งที่มีการนำไปใช้



ตำแหน่งบิต (ชื่อ)	หน้าที่
D0 [RE]	ควบคุมการอ่านหน่วยความจำฟิลด์
D1 [OE]	ควบคุมอิมพีแดนซ์ของหน่วยความจำฟิลด์
D2 [RSTR]	ควบคุมให้อ่านหน่วยความจำฟิลด์ที่ตำแหน่งแรก
D7 [ENABLE]	ควบคุมการเริ่มต้นแปลงและเก็บข้อมูลภาพ

### ตารางที่ 3.1 รีจิสเตอร์ควบคุมการทำงาน

#### 3.1.2 ส่วนแปลงสัญญาณภาพ (Image Digitizer)

ส่วนแปลงสัญญาณภาพทำหน้าที่ปรับแต่งสัญญาณวิดีโอให้อยู่ในลักษณะที่เหมาะสม (Signal Conditioning) และแปลงสัญญาณภาพวิดีโอ (Video Signal Acquisition) ให้เป็นข้อมูลภาพดิจิทัลเพื่อใช้ในการประมวลผล โดยประกอบด้วยส่วนสำคัญดังนี้

A2 เบอร์ LF357 และอุปกรณ์แวลลุ่มได้แก่ C8 R2 R3 และ D1 ทำหน้าที่เป็นวงจรคืนกระแสตรง (DC Restorer) เมื่อสัญญาณวิดีโอเข้า มาที่พอร์ต VIDEO จะชาร์ต (Charge) ตัวเก็บประจุ C8 ไปยังค่าแรงดันที่ขั้วระดับสัญญาณอินพุทให้มีค่าต่ำสุดเท่ากับระดับสัญญาณที่ขา 3 ของ A2 ซึ่งในที่นี้มีค่าเท่ากับ 0 โวลต์ เมื่อสัญญาณอินพุทแวงงไปมีค่าลบ (ต่ำกว่าระดับสัญญาณที่ขา 3) A2 จะขับไดโอด D1 ทำให้เกิดเส้นทางที่มีอิมพีแดนซ์ต่ำไปชาร์ตตัวเก็บประจุ C8 หลังจากสัญญาณต่ำสุดผ่านไปและ D1 ไม่นำกระแสอีกครึ่งหนึ่ง ประจุยังคงค้างอยู่ที่ C8 เนื่องจากเส้นทางที่ประจุจะคายได้มีเพียงขา 2 ของ A2 ผ่านทาง R2 เท่านั้นซึ่งเป็นเส้นทางที่มีกระแสไหลน้อยมาก R3 ทำหน้าที่เป็นโพลอิมพีแดนซ์ของสัญญาณวิดีโออินพุทซึ่งมีค่าเท่ากับ 75 โอห์ม

A3 เบอร์ LF357 และอุปกรณ์แวลลุ่มได้แก่ R4 และ VR1 ทำหน้าที่เป็นวงจรขยายแบบไม่กลับเฟส (Non-Inverting Amplifier) เนื่องจากสัญญาณวิดีโอมีระดับสัญญาณจากขอดถึงขอดประมาณ 1 โวลต์ แต่วงจรแปลงสัญญาณต้องการระดับแรงดันจากขอดถึงขอดประมาณ 1.7 โวลต์ ดังนั้น R4 และ VR1 ทำหน้าที่กำหนดอัตราขยายของวงจร

D2 และ R5 ทำหน้าที่เป็นวงจรลิมิตเตอร์ (Limiter) ทางด้านลบ เพื่อป้องกันแรงดันลบค่าสูงที่อาจเกิดขึ้นจาก สัญญาณรบกวนกระชาก (Spike Noise) หรือสัญญาณรบกวนอื่นจากภาคก่อนหน้าไปทำลายวงจรแปลงสัญญาณ โดยที่สัญญาณที่แคโทด(Cathode)ของ D2 ต้องมีค่ามากกว่า -0.7 โวลต์เท่านั้นจึงจะสามารถผ่านไปได้

D3 และ R6 ในทำนองเดียวกันทำหน้าที่เป็นวงจรลิมิตเตอร์ทางด้านบวก เพื่อป้องกันแรงดันบวกค่าสูงที่อาจเกิดจาก สัญญาณรบกวนกระชาก หรือสัญญาณรบกวนอื่นจากภาคก่อนหน้าไปทำลายวงจรแปลงสัญญาณ โดยวงจรแปลงสัญญาณได้กำหนดระดับสัญญาณที่สามารถแปลงได้อยู่ในช่วง 1.5-3.2 โวลต์ เมื่อสัญญาณที่แอโนด (Anode) ของ D3 มีค่ามากกว่า 0.7 โวลต์บวกกับแรงดันที่ขาแคโทดของ D4 ซึ่งทำหน้าที่เป็นวงจรกำเนิดแรงดันอ้างอิง 2.50 ซึ่งมีค่าเท่ากับ 3.20 โวลต์เท่านั้นจึงจะผ่านไปได้ ซึ่งมีค่าเท่ากับค่าสูงสุดที่วงจรแปลงสัญญาณจะสามารถแปลงได้ ระดับสัญญาณที่สูงกว่านี้จะถูกละทิ้งไป (ปรับให้มีค่า 3.20 โวลต์โดยอัตโนมัติ) ทั้งสิ้น อีกทั้งห้ามมิให้ตัดแปลงเนื้อหาและต้องอ้างอิงถึงเจ้าของเอกสารทุกครั้งที่มีการนำไปใช้

A1 เบอร์ TDA8703 และอุปกรณ์แวดล้อม ได้แก่ C1 C2 C3 C4 C5 C6 C7 และ R1 ทำหน้าที่เป็นวงจรแปลงสัญญาณอนาลอกเป็นดิจิทัลความเร็วสูง (Flash Analog to Digital Converter) ซึ่งมีความเร็วในการแปลงสัญญาณสูงถึง 40 MSPS มากพอสำหรับสัญญาณวิดีโอ สัญญาณที่ได้จากการปรับปรุงจากภาคก่อนหน้าจะส่งมายังวงจรแปลงสัญญาณทางขา 8 ของ A1 ข้อมูลที่แปลงได้จะถูกส่งออกทางบัสข้อมูล D0-D7 ของ A1 (AD [0..7]) สัญญาณนาฬิกาที่ใช้ในการแปลงได้จากคริสตอลออสซิลเลเตอร์ (Crystal Oscillator) X1 วงจรแสดงดังรูปที่ 3.3

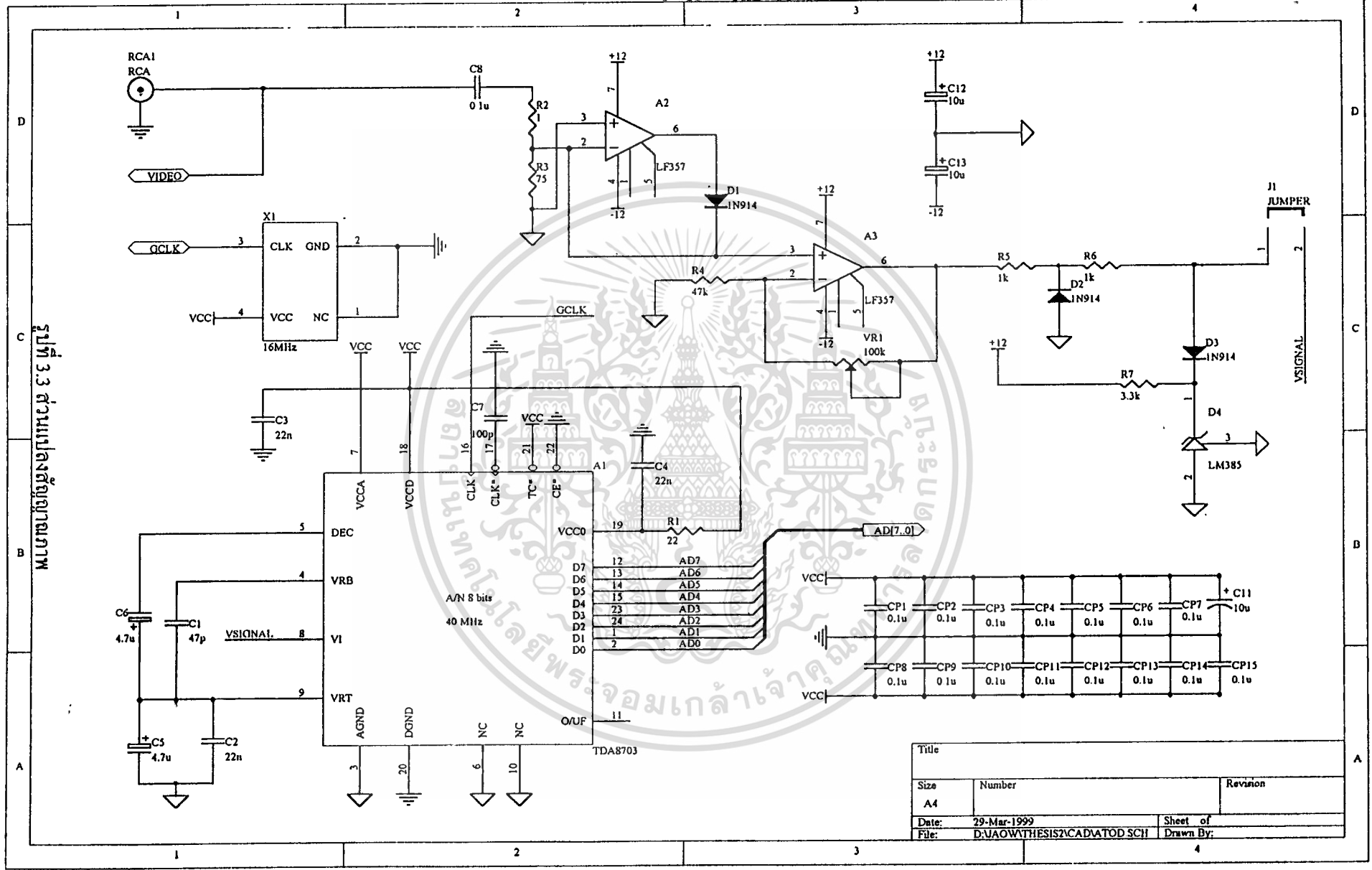
### 3.1.3 ส่วนสร้างสัญญาณควบคุม (Control Signal Generator)

ส่วนนี้ทำหน้าที่สังเคราะห์สัญญาณควบคุมการทำงานของอุปกรณ์ภายในการ์ดให้ทำงานสัมพันธ์กันกับสัญญาณต่างๆ อาทิเช่นสัญญาณเข้าจิ้งหว่าวิดีโอ, สัญญาณนาฬิกาของวงจรแปลงสัญญาณภาพ เป็นต้น รายละเอียดการทำงานของแต่ละอุปกรณ์มีดังนี้

A14 เบอร์ LM1881 และอุปกรณ์แวดล้อม ได้แก่ C9 C10 และ R8 ทำหน้าที่เป็นวงจรแยกสัญญาณเข้าจิ้งหว่าวิดีโอ (Video Synchronizing Separator) สัญญาณที่ได้จะเป็นพัลส์ที่แสดงถึงสัญญาณเข้าจิ้งหว่าในแนวนอน (Horizontal Synchronizing Pulse) และสัญญาณเข้าจิ้งหว่าในแนวตั้ง (Vertical Synchronizing Pulse) ทางขา 1 และ ขา 3 ตามลำดับ และสัญญาณระฆังของฟิล์มทางขา 7

พัลส์เข้าจิ้งหว่าในแนวนอนจะใช้เป็นสัญญาณนาฬิกาให้กับวงนับ 9-บิต (हार 512) ซึ่งประกอบด้วย A15A, A15B และ A16A เบอร์ 74LS393 เพื่อระบุตำแหน่งของเส้นสแกนในขณะนั้นเพื่อใช้สร้างสัญญาณควบคุมที่สัมพันธ์กัน ค่าที่นับได้ต่อไปยังบัส VCT[8..0] สัญญาณระฆังของฟิล์มจากขา 7 ของ A14 ต่อไปยังขา 2,12 และ 2 (MR) ของ A15A, A15B, A16A ตามลำดับซึ่งจะมีค่าเป็น High และ Low เมื่อฟิล์มขณะนั้นเป็นฟิล์มคู่และฟิล์มคี่ตามลำดับ ทั้งนี้เนื่องจากการประมวลผลภาพจะใช้ข้อมูลภาพเพียงแค่ฟิล์มเดี่ยว ในที่นี้เลือกใช้ฟิล์มคี่ ด้วยการต่อเช่นนี้จะทำให้วงจรนับดังกล่าวเริ่มนับใหม่ทุกครั้งที่มีการเปลี่ยนจากฟิล์มคู่ไปฟิล์มคี่ และหยุดนับเมื่อเปลี่ยนจากฟิล์มคี่ไปฟิล์มคู่

สัญญาณที่นับได้จากวงจรรับจากบัส VCT[8..0] จะต่อไปเข้า A18 ซึ่งเป็น PAL(Programmable Array Logic) เบอร์ PAL16L8 โดยเขียนโปรแกรมให้รับค่าเส้นสแกนขณะนั้นเข้ามา เพื่อสร้างสัญญาณควบคุมที่เกี่ยวข้อง กล่าวคือ



ม.ล.วิจิตร วิจิตรกุล ๒๕๓๕

Title		
Size A4	Number	Revision
Date: 29-Mar-1999	Sheet of	
File: D:\JAOW\THESIS\CAD\TOD SCI\	Drawn By:	

1. สัญญาณ /RESET จะใช้สำหรับรีเซ็ตตำแหน่งของไลน์ดีเลย์บัฟเฟอร์ (Line Delay Buffer) ซึ่งจะทำการรีเซ็ตในช่วงเวลาของเส้นสแกนที่ 1 เท่านั้น ดังนั้นสัญญาณ /RESET จะเป็น Low เมื่อขณะนั้นเป็นเส้นสแกนที่ 1 นอกจากนั้นสัญญาณนี้จะ เป็น High

2. สัญญาณ CAPT จะใช้ระบุบริเวณที่ทำการแปลงและจัดเก็บข้อมูลภาพ ในที่นี้จะทำการแปลงสัญญาณภาพตั้งแต่เส้นสแกนที่ 12 ถึงเส้นสแกนที่ 299 หรือคิดเป็น 288 เส้น ทั้งนี้เนื่องจากบริเวณดังกล่าวเป็นบริเวณข้อมูลภาพที่ปรากฏจริง ไม่รวมถึงบริเวณที่ใช้สร้างสัญญาณเข้าจังหวะ อาทิเช่นสัญญาณ Equalizing Pulse และสัญญาณ Serration Pulse เป็นต้น สัญญาณ CAPT จะเป็น High เฉพาะเส้นสแกนที่ 12 ถึง 299 เท่านั้น นอกจากนั้นสัญญาณนี้จะ เป็น Low

3. สัญญาณ CS เป็นสัญญาณเลือก ให้มีการทำงานของ A18 จากเงื่อนไขข้างต้นสามารถเขียนโปรแกรม PAL ด้วยภาษา ABEL สำหรับ U1 ได้ดังนี้

```
Module cropv
title 'Composite Sync Information extractor Location U002
Paramate HORKAEW 9 June 1998'

cropv device 'P16L8';
D0..D8 pin 1..9;
ChipSel pin 11;

!Reset pin 19 istype 'com';
Capture pin 18 istype 'com';

Counter = [D8..D0];

Equations

Capture = ChipSel & (Counter>=12) & (Counter<=299);
Reset = (Counter==1);

Test_Vectors
([ChipSel, Counter] -> [Capture, Reset])
[1, 0] -> [ 0, 0];
[1, 1] -> [ 0, 1];
[1, 2] -> [ 0, 0];
[1, 11] -> [ 0, 0];
[1, 12] -> [ 1, 0];
[1, 13] -> [ 1, 0];
[1, 14] -> [ 1, 0];
[1, 15] -> [ 1, 0];
[0, 50] -> [ 0, 0];
[1,100] -> [ 1, 0];
[1,295] -> [ 1, 0];
[1,296] -> [ 1, 0];
[1,297] -> [ 1, 0];
[1,298] -> [ 1, 0];
[1,299] -> [ 1, 0];
[1,314] -> [ 0, 0];
[1,315] -> [ 0, 0];
[1,320] -> [ 0, 0];
[1,400] -> [ 0, 0];
[1,500] -> [ 0, 0];
```

เอกสารนี้เป็นเอกสารสงวนลิขสิทธิ์การใช้งานเพื่อการศึกษาเท่านั้น ไม่อนุญาตให้นำไปใช้ประโยชน์ด้านการค้า

End ภาครณีใดๆ ทั้งสิ้น อีกทั้งห้ามมิให้ดัดแปลงเนื้อหาและต้องอ้างอิงถึงเจ้าของเอกสารทุกครั้งที่มีการนำไปใช้

สัญญาณนาฬิกาของระบบจากพอร์ต GCLK ต่อไปยังขา 13 ของ A16B เบอร์ 74LS393 ซึ่งทำหน้าที่เป็นวงจรรนับ 9 บิต ร่วมกับ A17A และ A17B เบอร์ 74LS393 เพื่อระบุตำแหน่งของจุดภาพในเส้นสแกนขณะนั้นเพื่อใช้สร้างสัญญาณควบคุมที่สัมพันธ์กัน ค่าที่นับได้ต่อไปยังบัส HCT[8..0] สัญญาณเข้าจังหวะในแนวนอนจากขา 1 ของ A14 ต่อผ่านอินเวอร์เตอร์ (Inverter) ไปเข้าขา 12, 2 และ 2 ของ A16B, A17A, A17B ตามลำดับ ดังนั้นวงจรรนับจะเริ่มนับใหม่ทุกครั้งที่มีเริ่มต้นเส้นสแกนใหม่

สัญญาณที่นับได้จากวงจรรนับจากบัส HCT[8..0] จะต่อไปเข้า A19 ซึ่งเป็น PAL โดยเขียนโปรแกรมให้รับค่าตำแหน่งจุดภาพขณะนั้นเข้ามา เพื่อสร้างสัญญาณควบคุมที่เกี่ยวข้องได้แก่สัญญาณ ACTIVE เนื่องจากจำนวนเส้นสแกนในแนวตั้งที่ทำการแปลงสัญญาณภาพเป็น 288 เส้น ดังนั้นเพื่อให้ค่าอัตราส่วนยังผล (Aspect Ratio) ของภาพยังเป็น 4:3 ดังนั้นบริเวณที่ทำการแปลงสัญญาณในแนวนอนควรจะเป็น  $(4 \times 288) / 3$  หรือประมาณ 384 จุดภาพ ถ้าสัญญาณนาฬิกาเป็น 8 MHz (สำหรับแปลงสัญญาณวิดีโอที่มีแบนด์วิดท์ 4 MHz ตามเงื่อนไขของ Nyquist) และช่วงเวลาของสัญญาณวิดีโอหนึ่งเส้นเป็น 64 ไมโครวินาที ถ้าไม่นับช่วงเวลาสัญญาณเข้าจังหวะ 12 ไมโครวินาทีจะได้ว่าจำนวนจุดภาพที่สามารถเห็นได้เป็น

$$(64 \times 10^{-6} - 12 \times 10^{-6}) \times (8 \times 10^6) = 416 \text{ Pixels}$$

แต่เราต้องการเพียง 384 จุดภาพ ดังนั้นกำหนดสัญญาณ CS เป็นสัญญาณเลือก ให้มีการทำงานของ A19 จากเงื่อนไขข้างต้นสามารถเขียนโปรแกรม PAL สำหรับ A19 เบอร์ PAL16L8 ได้ดังนี้

```
Module croph
title 'Composite Sync Information extractor Location U002
Paramete HORKAEW 9 June 1998'

croph device 'P16L8';
D0..D8 pin 1..9;
ChipSel pin 11;
Active pin 15 istype 'com';

Counter = [D8..D0];

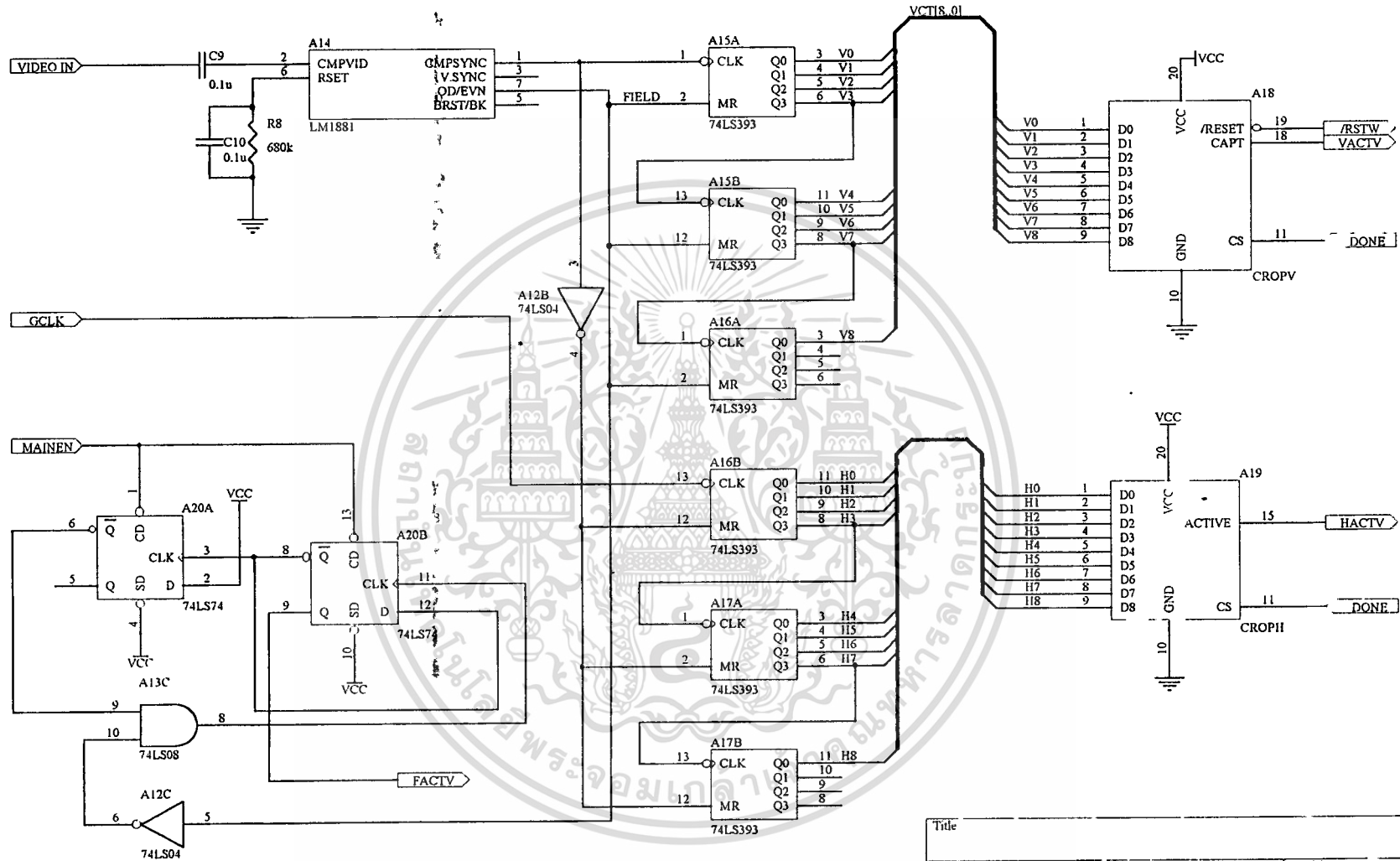
Equations

Active = ChipSel & (Counter >= 16) & (Counter <= 399);

Test_Vectors
([ChipSel, Counter] -> [Active])
[0, 0] -> [ 0 ];
[1, 0] -> [ 0 ];
[1, 1] -> [ 0 ];
[1, 15] -> [ 0 ];
[1, 16] -> [ 1 ];
[1, 17] -> [ 1 ];
[1, 18] -> [ 1 ];
[1, 19] -> [ 1 ];
[1, 20] -> [ 1 ];
[1, 50] -> [ 1 ];
[1,100] -> [ 1 ];
[1,300] -> [ 1 ];
[1,310] -> [ 1 ];
[1,395] -> [ 1 ];
[1,396] -> [ 1 ];
[1,397] -> [ 1 ];
```

เอกสารนี้เป็นเอกสารสงวนลิขสิทธิ์สำหรับการใช้งานเพื่อการศึกษาเท่านั้น ไม่อนุญาตให้นำไปใช้ประโยชน์ด้านการค้า  
ไม่ว่ากรณีใดๆ ก็ตามให้ติดต่อแจ้งผู้ดูแลเนื้อหาและต้องอ้างอิงถึงเจ้าของเอกสารทุกครั้งที่มีการนำไปใช้

รูปที่ 3.4 ส่วนสร้างสัญญาณความถี่



Title		
Size	Number	Revision
A4		
Date:	1-Apr-1999	Sheet of
File:	D:\JAOW\THESIS2\CAD\COUNTER SC	Drawn By:

การอ่านข้อมูลจาก A11 ทำผ่านบัส D[7..0] โดยมีสัญญาณควบคุม RE, OE และ RSTW ที่โปรแกรมจาก PC ผ่านทางรีจิสเตอร์ A7 และสัญญาณนาฬิกาในการอ่าน SRCK จากวงจรถอดรหัส A6 วงจรส่วนนี้แสดงดังรูป 3.5

### 3.2 การออกแบบตัวกรองดิจิทัล (Digital Filter)

ในขั้นตอนนี้จะเป็นการออกแบบวงจรกรองดิจิทัลบน FPGA โดยจะเป็นการยกตัวอย่างตัวกรองดิจิทัลแบบทวินาม (Binomial) ซึ่งมีผลตอบสนองอิมพัลส์ในรูปของเมทริกซ์ดังนี้

$$1/16 \begin{bmatrix} 1 & 2 & 1 \\ 2 & 4 & 2 \\ 1 & 2 & 1 \end{bmatrix}$$

สามารถหาผลตอบสนองเชิงความถี่ได้ดังนี้

$$H(\omega_1, \omega_2) = \frac{1}{16} \begin{bmatrix} \exp(j(-\omega_1 + \omega_2)) + 2\exp(j\omega_2) + \exp(j(\omega_1 + \omega_2)) + \\ 2\exp(-j\omega_1) + 4 + 2\exp(j\omega_1) + \\ \exp(j(-\omega_1 - \omega_2)) + 2\exp(-j\omega_2) + \exp(j(\omega_1 - \omega_2)) \end{bmatrix} \dots (3.1)$$

#### 3.2.1 เทคนิคในการลดขั้นตอนการคำนวณ (Computation Optimization)

สำหรับการคำนวณการคอนโวลูชันระหว่างตัวดำเนินการ  $h(i,j)$  ใดๆ กับภาพดิจิทัล  $f(i,j)$  ซึ่งมี สมการดังนี้

$$h(i, j) \otimes f(i, j) = \sum_{k=1}^m \sum_{l=1}^n h(k, l) f(i-k, j-l) \dots (3.2)$$

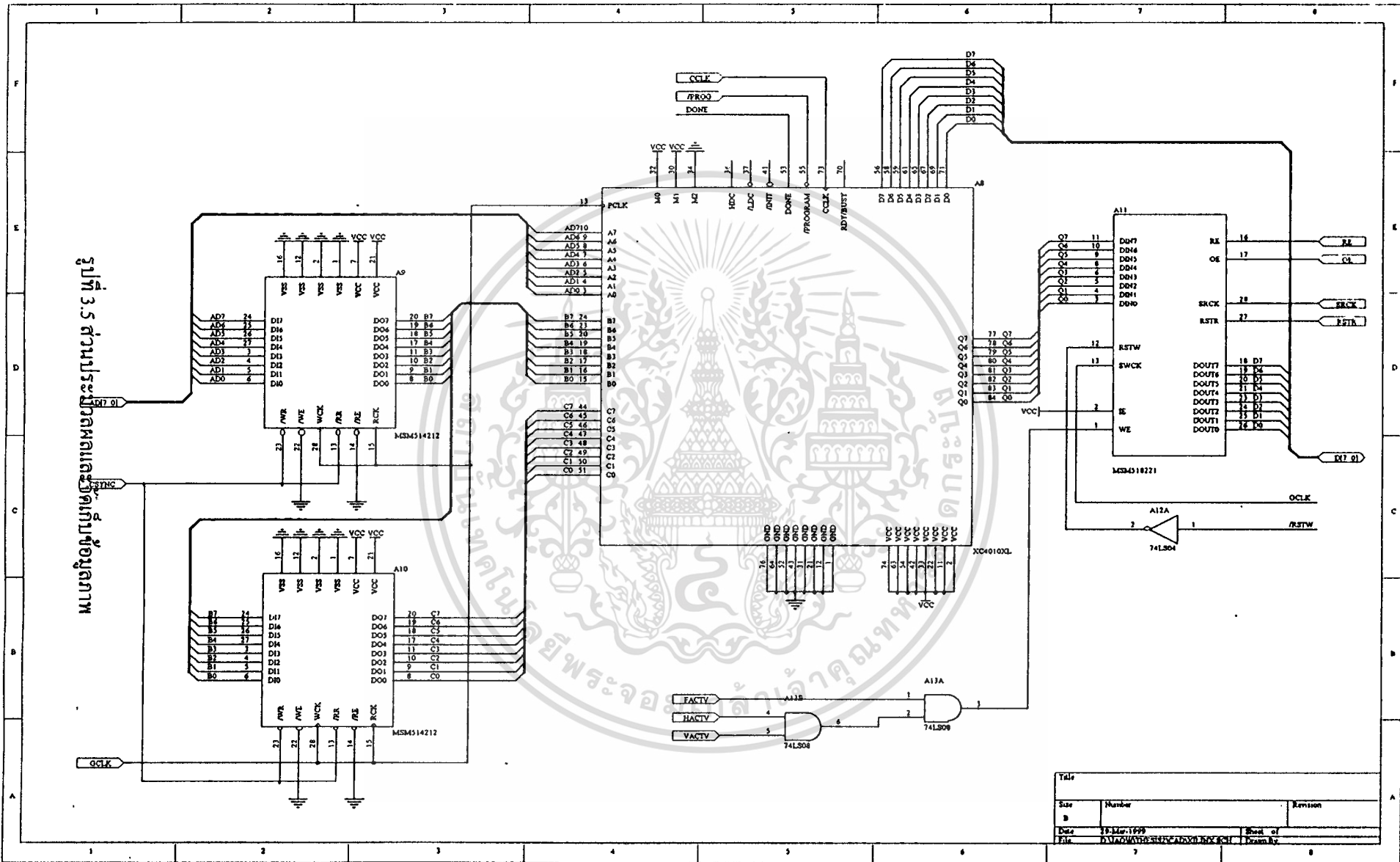
ถ้าหากสามารถพิสูจน์ได้ว่า

$$h(i, j) \otimes f(i, j) = \sum_{k=1}^m h_1(k) \left\{ \sum_{l=1}^n h_2(l) f(i-k, j-l) \right\} \dots (3.3)$$

โดยที่ค่าในวงเล็บเป็นการคอนโวลูชันระหว่างภาพดิจิทัล  $f(i,j)$  กับผลตอบสนองอิมพัลส์ในแนวตั้ง  $h(l)$  ผลลัพธ์ที่ได้นำไปทำคอนโวลูชันกับผลตอบสนองอิมพัลส์ในแนวนอน  $h(k)$  เนื่องจากการคอนโวลูชันมีคุณสมบัติการจับกลุ่มและการสลับที่ ลำดับของการทำคอนโวลูชันสามารถทำกลับกันได้โดยทำคอนโวลูชันในแนวนอนก่อน แล้วจึงนำผลลัพธ์ที่ได้มาทำคอนโวลูชันในแนวตั้ง

เอกสารนี้เป็นเอกสารที่สงวนไว้สำหรับการใช้งานเพื่อการศึกษาเท่านั้น ไม่อนุญาตให้นำไปใช้ประโยชน์ด้านการค้า ไม่ว่ากรณีใดๆ ทั้งสิ้น อีกทั้งห้ามมิให้ตัดแปลงเนื้อหาและต้องอ้างอิงถึงเจ้าของเอกสารทุกครั้งที่มีการนำไปใช้

รูปที่ 3.5 ส่วนประกอบหลักของตัวเก็บค่าข้อมูลภาพ



Title		
Size	Number	Revision
B		
Date	13 Mar 1999	Sheet of
File	D:\WORK\MS8418221\MS8418221.CAD	Drawn by

วิธีการนี้จะสามารถสร้างได้จากการทำคอนโวลูชันในแนวนอนก่อนแล้วผลลัพธ์ชั่วคราวเก็บในตำแหน่งทรานสโพส (Transpose) ของตำแหน่งเดิม แล้วจึงนำผลลัพธ์ชั่วคราวไปทำคอนโวลูชันด้วยวิธีการเดียวกัน ซึ่งเป็นการทำคอนโวลูชันในแนวตั้งจากคอนโวลูชันในแนวนอน ข้อมูลผลลัพธ์จากการทำคอนโวลูชันครั้งที่สองก็จะเป็นการทำทรานสโพส (Transpose) อีกครั้งทำให้ข้อมูลเก็บในตำแหน่งที่ถูกต้อง จากผลตอบสนองอิมพัลส์ของตัวกรองแบบทวินามและ เมตริกซ์ในแนวตั้ง

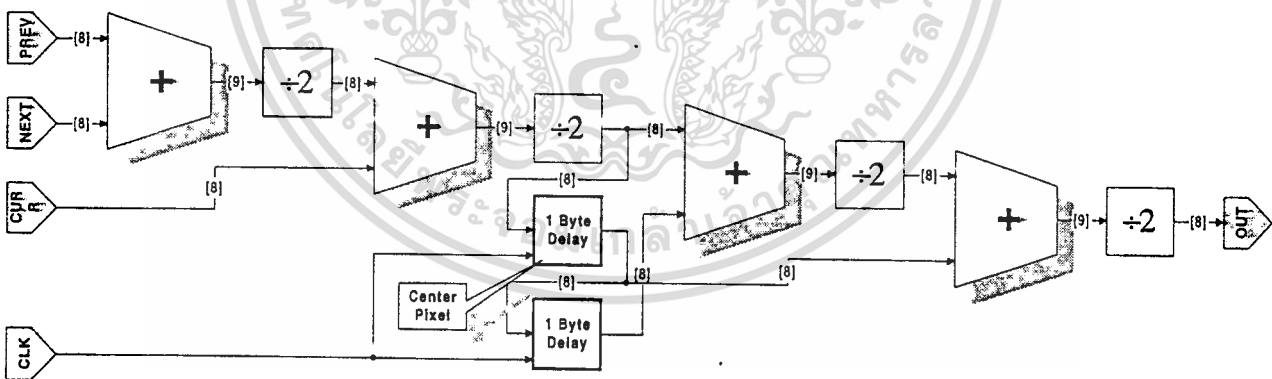
เมตริกซ์ในแนวนอน  $[1/4 \ 1/2 \ 1/4]$  ซึ่งเมื่อแทนค่าลงไปในสมการ (3.3) สามารถพิสูจน์ได้ว่าสมการเป็นจริง ดังนั้นจึงนำความรู้นี้ไปสร้างเป็นวงจรตรรกต่อไป

### 3.2.2 ตัวกรองดิจิทัลในรูปของวงจรตรรก (Digital Filter in Boolean Circuit Form)

จากหัวข้อที่ผ่านมาเห็นได้ว่าสามารถนำข้อมูลภาพไปทำการคอนโวลูชันกับเมตริกซ์ในแนวตั้งก่อนแล้วจึง นำผลลัพธ์ที่ได้ไปทำคอนโวลูชันกับเมตริกซ์ในแนวนอน แต่เพื่อความสะดวกในการออกแบบวงจรจะ

ทำการดึงตัวร่วม  $1/4$  ของทั้งสองเมตริกซ์ออกมาไว้ข้างนอกสุด ดังนั้นจะได้เมตริกซ์ในแนวตั้งเป็น  $\begin{bmatrix} 1 \\ 2 \\ 1 \end{bmatrix}$  และ

เมตริกซ์ในแนวนอนเป็น  $[1 \ 2 \ 1]$  เมื่อทำคอนโวลูชันแล้วจึงหารด้วย  $1/16$  แผนผังวงจรกรองดิจิทัลแบบทวินามแสดงดังรูปที่ 3.6

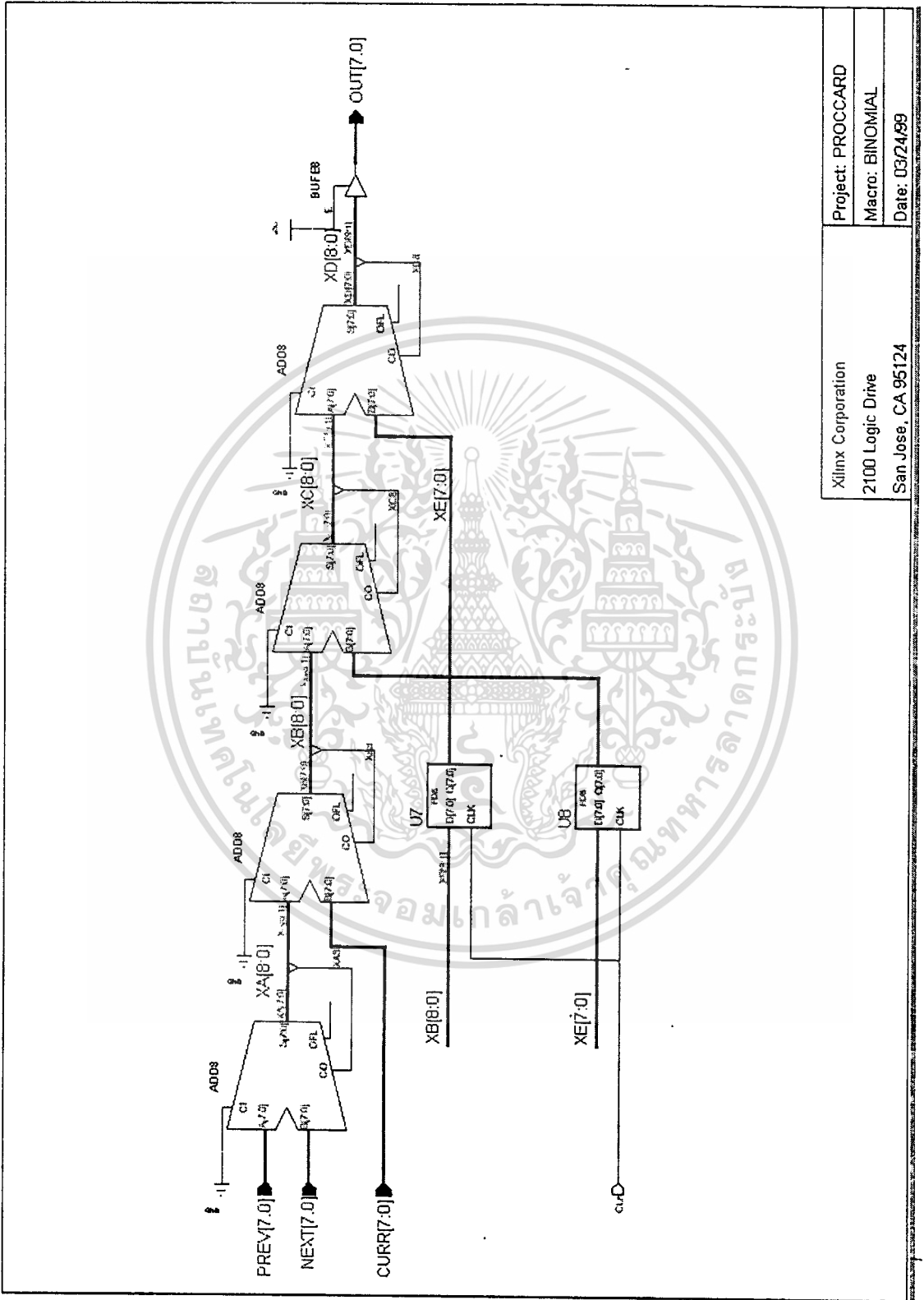


รูปที่ 3.6 แผนผังวงจรกรองดิจิทัลแบบทวินาม

จากแผนผังวงจรในรูปที่ 3.6 วงจรบวก 8 บิตทำการบวกค่าจุดภาพที่เส้นที่  $n-1$  และเส้นที่  $n+1$  แทนด้วยสัญลักษณ์ PREV และ NEXT ตามลำดับ แล้วจึงนำผลลัพธ์ที่ได้ไปหารด้วยสองแล้วบวกกับจุดภาพเส้นที่  $n$  แทนด้วยสัญลักษณ์ CURR ทั้งหมดนี้คือการทำคอนโวลูชันในแนวตั้ง หลังจากนั้นผลลัพธ์จะถูกหน่วงไป 1 และ 2 จุดภาพ ในทำนองเดียวกัน ค่าจุดภาพที่  $m-1$  และค่าจุดภาพที่  $m+1$  จะบวกกัน ผลลัพธ์ที่ได้ไปหารด้วย

ไม่ว่ากรณีใดๆ ทั้งสิ้น อีกทั้งห้ามมิให้คัดแปลงเนื้อหาและต้องอ้างอิงถึงเจ้าของเอกสารทุกครั้งที่มีการนำไปใช้

สองแล้วบวกกับค่าจุดภาพที่  $m$  ผลลัพธ์ที่ได้จะหารด้วยสองอีกครั้ง ได้เป็นค่าจุดภาพที่ต้องการที่พิกัด  $(m, n)$  ของภาพ ซึ่งสามารถนำไปสร้างเป็นวงจรที่สมมูลกันได้ดังรูปที่ 3.7



Xilinx Corporation 2100 Logic Drive San Jose, CA 95124	Project: PROCCARD Macro: BINOMIAL Date: 03/24/99
--	--

เอกสารนี้เป็นเอกสารที่สงวนไว้สำหรับการใช้งานเพื่อการศึกษาเท่านั้น ไม่อนุญาตให้拿去ใช้ประโยชน์ด้านการค้า  
รูปที่ 3.7 วงจรที่สมมูลกับแผนผังในรูปที่ 3.6  
ไม่ว่ากรณีใดๆ ทั้งสิ้น อีกทั้งห้ามให้ตัดแปลงเนื้อหา และต้องอ้างอิงชื่อของเอกสารทุกครั้งที่มีการนำไปใช้

### 3.3 การออกแบบโปรแกรมควบคุมการทำงาน

โปรแกรมสำหรับควบคุมการทำงานของการ์ดประมวลผลภาพดิจิทัลแบบโปรแกรมได้เป็นโปรแกรมที่ทำงานภายใต้ระบบปฏิบัติการ DOS มีคุณสมบัติ ดังต่อไปนี้

1. สามารถติดต่อกับผู้ใช้ผ่านทางแป้นพิมพ์
2. แสดงผลภาพในโหมดกราฟฟิกโมโนโครม (Monochrome)
3. สามารถเลือกคอนโวลเวอร์ (Convolver) ที่จะโปรแกรม FPGA ได้และสามารถโปรแกรม FPGA ผ่านทางพอร์ตเอพท์พุท
4. สามารถอ่านข้อมูลภาพที่เก็บในหน่วยความจำหลักของการ์ดผ่านทางพอร์ตอินพุทมาแสดงผลได้
5. สามารถจัดเก็บภาพเป็นแฟ้มในรูปแบบข้อมูลดิบได้ ( \*.RAW : ข้อมูลประกอบด้วยค่าความสว่างของจุดภาพแต่เพียงอย่างเดียว)

เพื่อให้โปรแกรมสามารถทำได้ตามคุณสมบัติข้างต้น ในที่นี่จะพัฒนาโปรแกรมโดยใช้ภาษา C โดยแบ่งออกเป็นสองส่วนแยกออกจากกัน กล่าวคือส่วน การทำงานหลัก และ ส่วนดูแลการแสดงผล อยู่ในแฟ้มข้อมูลในภาคผนวกชื่อ IMGMAIN.C และ IMGGRAPH.C ตามลำดับ ในที่นี่จะอธิบายการออกแบบเฉพาะส่วนการทำงานหลักเท่านั้น (สำหรับส่วนดูแลการแสดงผลนั้นจะเป็นรูปแบบที่นิยมใช้กันทั่วไป สำหรับผู้สนใจสามารถศึกษาได้จากภาคผนวก) ซึ่งแบ่งเป็น โมดูล (Module) ย่อยที่สำคัญได้ดังนี้

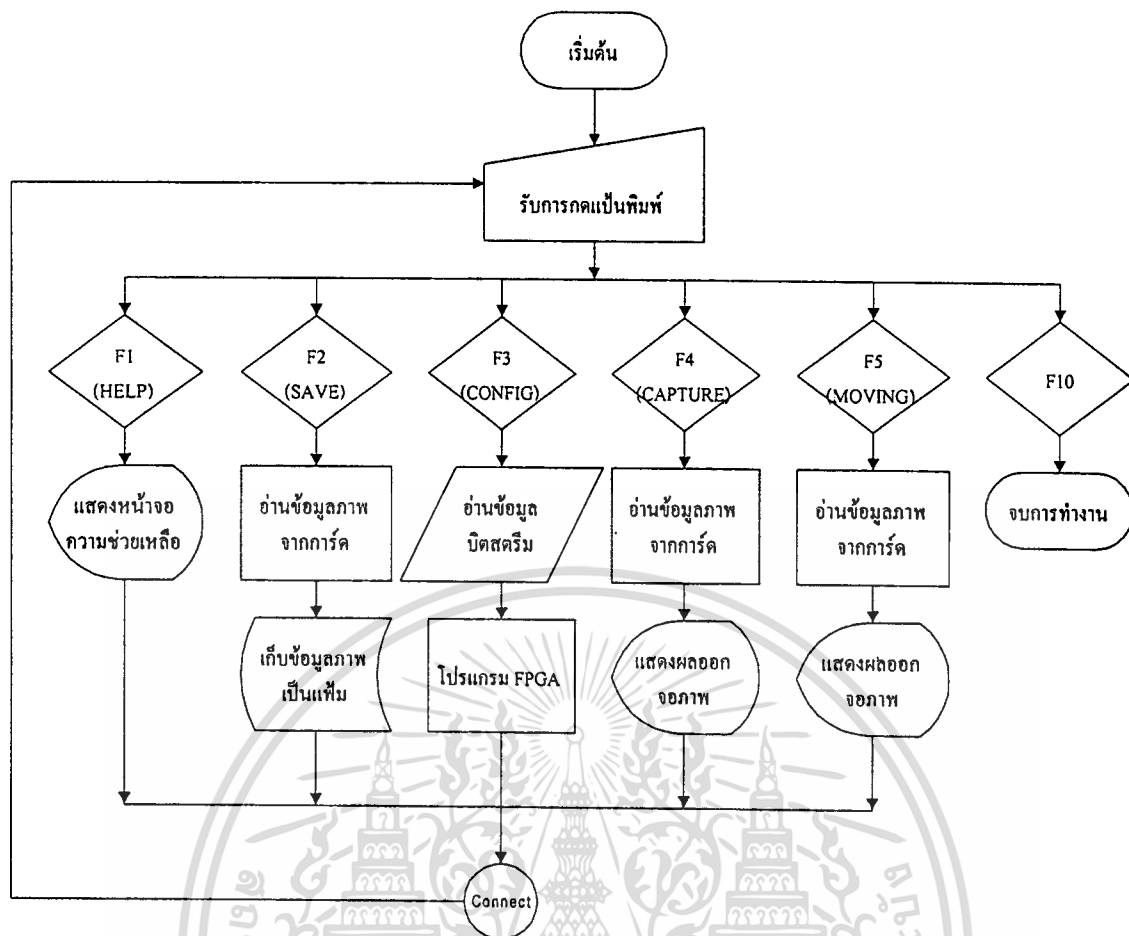
#### 3.3.1 ส่วนติดต่อกับผู้ใช้

ส่วนนี้จะทำงานโดยรอรับการกดแป้นพิมพ์จากผู้ใช้ และพิจารณาลักษณะของคำสั่ง ได้แก่เรียกหน้าจอความช่วยเหลือ จัดเก็บข้อมูลภาพ โปรแกรม FPGA อ่านข้อมูลภาพมาแสดงผล และจบการทำงาน และรับผิดชอบเรียกฟังก์ชันเพื่อทำตามคำสั่งนั้น มีแผนผังการทำงานดังรูปที่ 3.8

#### 3.3.2 ส่วนโปรแกรม FPGA (CONFIG)

ส่วนนี้จะทำงานอ่านแฟ้มข้อมูลที่เก็บบิตสตรีม (Bit stream) ของคอนโวลเวอร์ที่ผู้ใช้เลือกมาโปรแกรม FPGA ผ่านทางพอร์ตเอพท์พุท ก่อนจะเริ่มทำการโปรแกรมควรจะดำเนินการดังต่อไปนี้

- ยกเลิกการอินเทอร์รัพท์ทั้งหมด เพื่อป้องกันการอ่านข้อมูลผิดพลาดของ FPGA ถ้าหากมีการเขียนข้อมูลโดย DMA (Direct Memory Access)
- ทำให้บัสมีอิมพีแดนซ์สูง โดยการตัดการเชื่อมต่อบัสข้อมูลของการ์ดกับพอร์ตเอพท์พุทของหน่วยความจำหลัก เพื่อป้องกันการสับสนในการตีความข้อมูล



รูปที่ 3.8 แผนผังส่วนติดต่อกับผู้ใช้

เมื่อโปรแกรม FPGA เสร็จแล้วให้อินเตอร์รัทท์กลับสู่สถานะเดิม ส่วนนี้มีแผนผังการทำงานดังรูปที่ 3.9

### 3.3.3 ส่วนควบคุมการแปลงภาพและอ่านข้อมูลภาพจากการ์ดมาแสดงผล

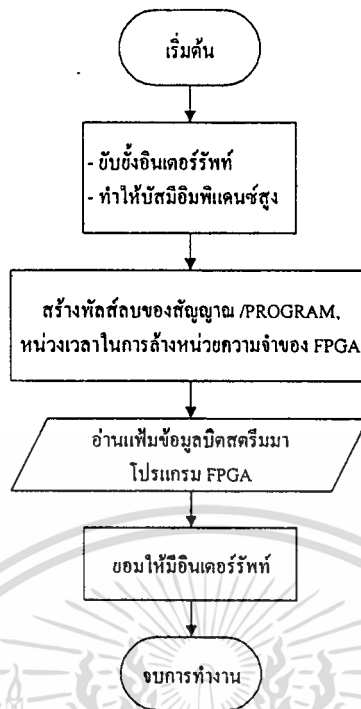
ส่วนนี้จะควบคุมการแปลงสัญญาณภาพ และ อ่านข้อมูลภาพที่พักอยู่ในหน่วยความจำฟิลด์ที่อยู่บนการ์ดมาแสดงผลทางจอภาพ มีแผนผังการทำงานดังรูปที่ 3.10

หลักการทำงานในส่วนนี้ สามารถนำไปอธิบายการทำงานในอีกสองส่วนที่เหลือ คือ

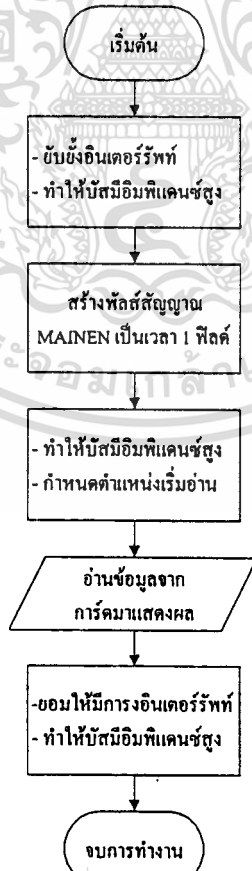
- ส่วนแสดงผลแบบต่อเนื่อง (MOVING)
- ส่วนอ่านและจัดเก็บข้อมูลภาพเป็นแฟ้มข้อมูล (SAVE)

โดยที่ขั้นตอนเบื้องต้นของทั้งสามส่วนเหมือนกัน จึงขอไม่อธิบายการทำงานในส่วนดังกล่าวในที่นี้ สำหรับผู้ที่สนใจสามารถศึกษาโปรแกรมโดยละเอียดได้จากภาคผนวก

เอกสารนี้เป็นเอกสารที่สงวนไว้สำหรับการใช้งานเพื่อการศึกษาเท่านั้น ไม่อนุญาตให้拿去ใช้ประโยชน์ด้านการค้า ไม่ว่าจะกรณีใดๆ ทั้งสิ้น อีกทั้งห้ามมิให้ดัดแปลงเนื้อหาและต้องอ้างอิงถึงเจ้าของเอกสารทุกครั้งที่มีการนำไปใช้



รูปที่ 3.9 ส่วน โปรแกรม FPGA



เอกสารนี้เป็นเอกสารที่สงวนไว้สำหรับการใช้งานเพื่อการศึกษาเท่านั้น ไม่อนุญาตให้นำไปใช้ประโยชน์ด้านการค้า  
ไม่ว่ากรณีใดๆ ทั้งสิ้นรูปที่ 3.10 ส่วนควบคุมการแปลงภาพและอ่านข้อมูลภาพมาแสดงผล ทุกครั้งที่มีการนำไปใช้

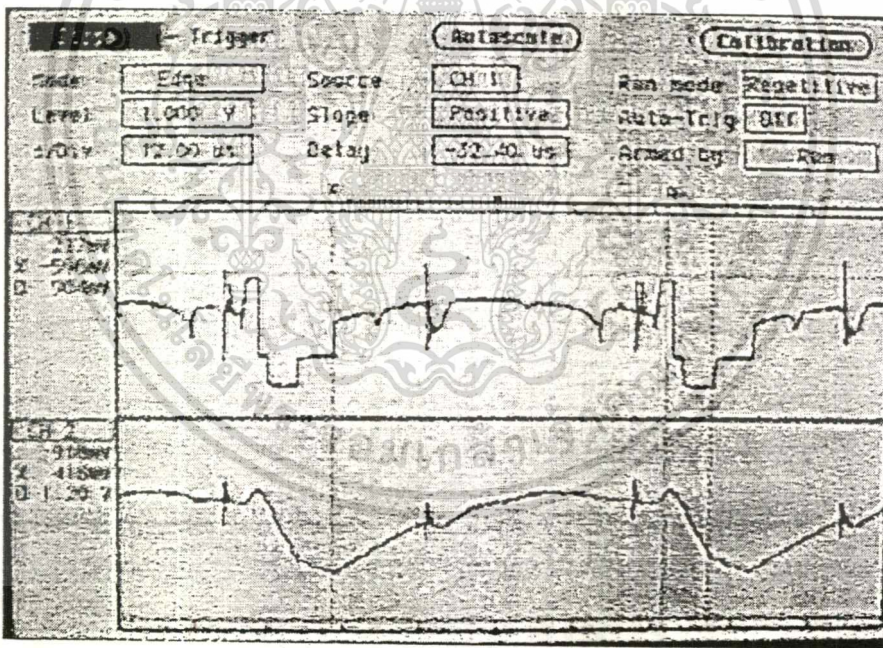
## บทที่ 4

### การทดลองและผลการทดลอง

ในบทนี้จะกล่าวถึงการทดลองและผลการทดลองในปริิญาณินพนธ์นี้ โดยแบ่งเป็น 3 ส่วนกล่าวคือ การทดลองส่วนการวัดประมวลผลภาพดิจิทัล การสร้างคอนโวลเวอร์ขนาด 3x3 บน FPGA และการทดลองใช้งานจริงของการวัดประมวลผลภาพดิจิทัลที่ได้ออกแบบไว้

#### 4.1 การทดลองส่วนการวัดประมวลผลภาพดิจิทัล

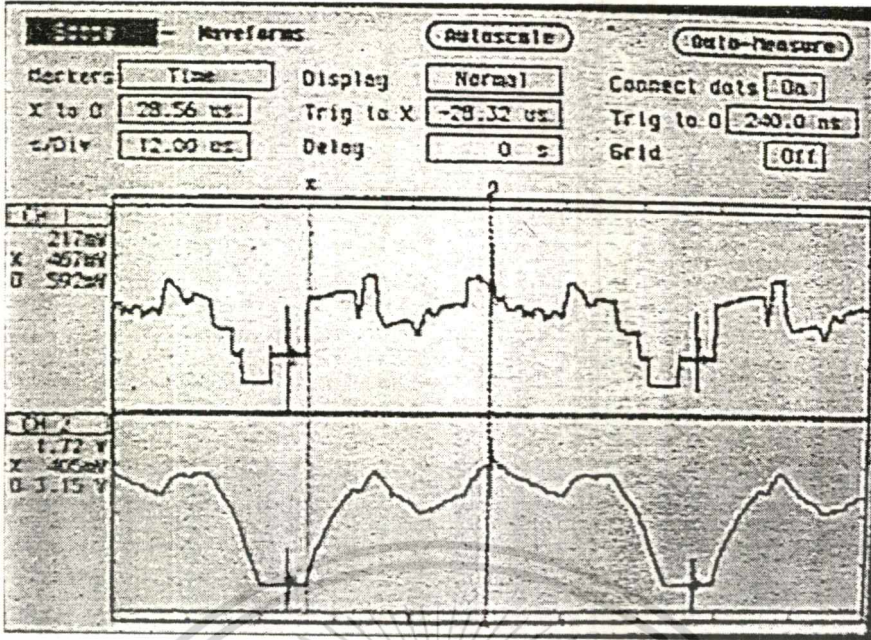
การทดลองในส่วนนี้จะเป็นการวัดสัญญาณที่จุดต่างๆ โดยใช้เครื่องมือวัด Logic Analyzer รุ่น HP1652B โดยจะทำการวัดในส่วนแปลงสัญญาณภาพที่ทำหน้าปรับรูปแบบของสัญญาณให้เหมาะสมพิจารณาจริงในส่วนแปลงสัญญาณภาพวัดแรงดันที่ผ่านจากวงจรคืนกระแสตรง (DC-Restorer) A2 โดยใช้สโตร์ช่องที่ 1 วัดสัญญาณวิดีโออินพุตที่ C8 และช่องที่สองวัดสัญญาณเอาต์พุตที่ขา 2 ของ A2 ได้รูปสัญญาณดังรูปที่ 4.1 กล่าวคือสัญญาณจะถูกยกระดับมาอยู่ชื่กบวก



รูปที่ 4.1 สัญญาณที่ได้จากวงจรคืนกระแสตรง

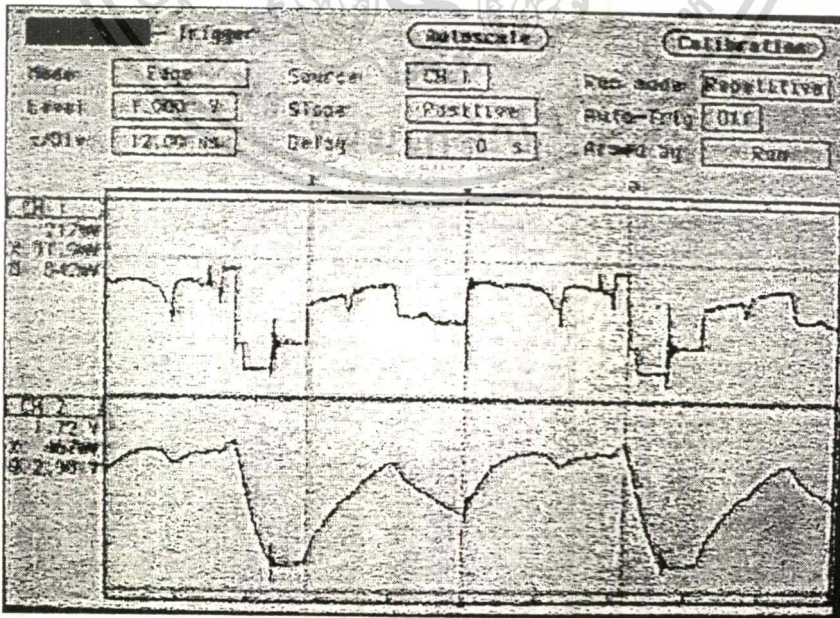
เปลี่ยนช่องที่สองไปวัดที่เอาต์พุตของวงจรขยาย A3 โดยวัดที่ขา 6 ได้รูปสัญญาณ ดังรูปที่ 4.2

เอกสารนี้เป็นเอกสารที่สงวนไว้สำหรับการใช้งานเพื่อการศึกษาเท่านั้น ไม่อนุญาตให้นำไปใช้ประโยชน์ด้านการค้า ไม่ว่ากรณีใดๆ ทั้งสิ้น อีกทั้งห้ามมิให้ดัดแปลงเนื้อหาและต้องอ้างอิงถึงเจ้าของเอกสารทุกครั้งที่มีกรนำไปใช้



รูปที่ 4.2 สัญญาณวิดีโอหลังจากผ่านวงจรถยาย

เปลี่ยนสัญญาณในช่องที่สองไปวัดที่ขาแอนโอดของ D3 ซึ่งทำงานเป็นวงจรมีระดับสัญญาณ (Limiter) ได้รูปสัญญาณดังรูปที่ 4.3



เอกสารนี้เป็นเอกสารที่สงวนไว้สำหรับการใช้งานเพื่อการศึกษาเท่านั้น ไม่อนุญาตให้นำไปใช้ประโยชน์ด้านการค้า ไม่ว่าจะกรณีใดๆ ทั้งสิ้น อีกทั้งห้ามรูปที่ 4.3 สัญญาณหลังจากผ่านวงจรมีระดับสัญญาณทุกครั้งที่มีการนำไปใช้

## 4.2 การสร้างคอนโวลเวอร์ขนาด 3x3 บน FPGA

สำหรับปริญญาโทฉบับนี้จะทำการสร้างคอนโวลเวอร์ขนาด 3x3 ลงบน FPGA ของบริษัท Xilinx โดยใช้โปรแกรมชื่อ Xilinx Foundation Series โดยมีขั้นตอนการสร้างดังต่อไปนี้

### 4.2.1 โปรแกรมวงจรลงบน FPGA

ใช้หลักการออกแบบลำดับชั้น (Hierarchy) โดยออกผังการทำงานโดยรวมซึ่งจะแสดงถึงการเชื่อมต่อกันระหว่างส่วนย่อยต่างๆ และการเชื่อมต่อกับขาภายนอกตัว FPGA จากรูปจะเห็นได้ว่า ข้อมูลภาพจะเข้าสู่ FPGA ทางบัส A B C ผ่านแลตช์ (Latch) ไปเข้าส่วนประมวลผลแบบทวินาม และ สัญญาณนาฬิกาเข้ามาทางพอร์ต PCLK ผ่านบัฟเฟอร์ไปยังส่วนต่างๆของระบบ ผลลัพธ์ที่ได้จะถูกส่งออกทางบัส Q ผ่านทางแลตช์ ซึ่งจะเห็นได้ว่าสมมูลกับขาที่ได้ออกแบบไว้ในบทที่ 3 ผังโดยรวมแสดงได้ดังรูปที่ 4.4 หลังจากนั้นจึงออกแบบส่วนที่ทำการประมวลผลการคอนโวลูชันแบบทวินาม ซึ่งคือส่วน BINOMIAL ในรูปที่ 4.4 ใช้วงจรในรูปที่ 3.7

### 4.2.2 การนำผลที่ได้ไปใช้งาน

เพิ่มข้อมูลที่จะนำไปใช้คือเพิ่มที่มีส่วนขยาย .BIT ซึ่งจะนำไปโปรแกรมลงบน FPGA โดยใช้ร่วมกับโปรแกรมที่ได้ออกแบบในบทที่ 3 อยู่ในรูปแบบไบนารี (Binary) และเพิ่มที่มีส่วนขยาย .RBT เป็นแฟ้มที่ใช้อ้างอิงตรวจสอบบิตซึ่งอยู่ในรูปไฟล์แอสกี (ASCII) ดังแสดงรูป 4.5

## 4.3 การทดลองการใช้งานจริง

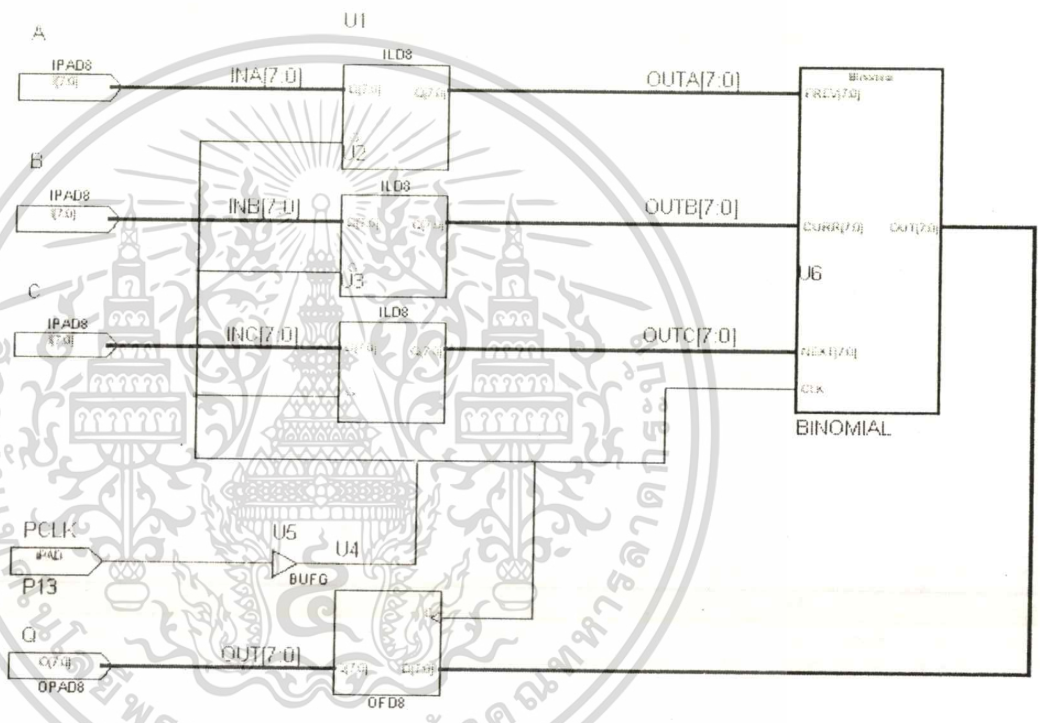
สำหรับปริญญาโทฉบับนี้จะนำเสนอการใช้งานการประมวลผลภาพแบบโปรแกรมได้ที่สร้างขึ้น ไปประยุกต์ใช้ในการลดสัญญาณรบกวนภายในภาพวิดีโอ ขั้นตอนการทดลองมีดังนี้

### 4.3.1 แปลงสัญญาณภาพวิดีโอตั้งเดิม

ทำการสร้างระบบในทำนองเดียวกับในข้อ 4.2 แต่แทนที่จะผ่านแมสค์ทวินามก็ทำการเชื่อมต่อพอร์ต A (อินพุต) เข้ากับพอร์ต Q (เอาต์พุต) ผ่านทางแลตช์ที่ IOB เท่านั้น เมื่อโปรแกรมบิตสตรีมที่ได้ลงบน FPGA แล้วทดลองเก็บภาพจริงได้ผลดังรูปที่ 4.6 ทำการทดลองในทำนองเดียวกันแต่เปลี่ยนบิตสตรีมเป็นแบบที่ใช้คอนโวลเวอร์ทวินามที่ได้สร้างขึ้น ได้ผลดังรูปที่ 4.7 เมื่อพิจารณาจากผลฮิสโตแกรม (Histogram) จะเห็นได้ว่าสามารถลดสัญญาณรบกวนได้อย่างมีนัยสำคัญ

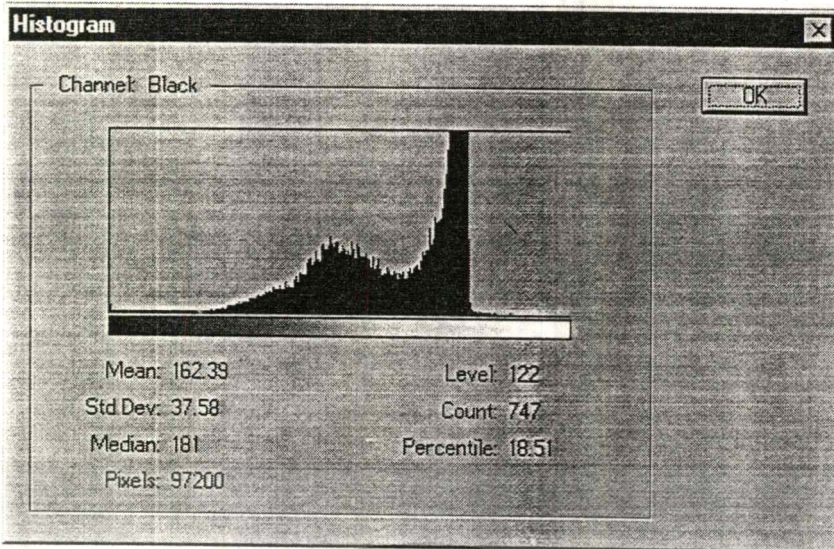
เอกสารนี้เป็นเอกสารที่สงวนไว้สำหรับการใช้งานเพื่อการศึกษาเท่านั้น ไม่อนุญาตให้นำไปใช้ประโยชน์ด้านการค้า ไม่ว่าจะกรณีใดๆ ทั้งสิ้น อีกทั้งห้ามมิให้ตัดแปลงเนื้อหาและต้องอ้างอิงถึงเจ้าของเอกสารทุกครั้งที่มีการนำไปใช้

รูปที่ 4.4 ฟังก์ชันของระบบ



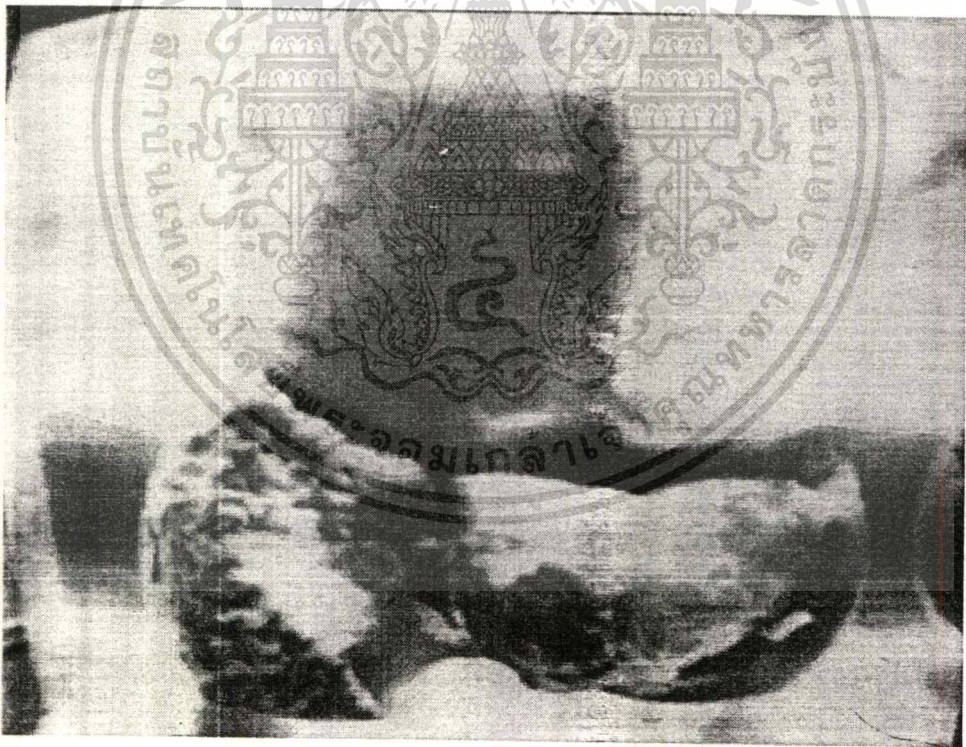
Xilinx Corporation	Project: PROCCARD
2100 Logic Drive	Sheet: 1/1
San Jose, CA 95124	Date: 03/24/99





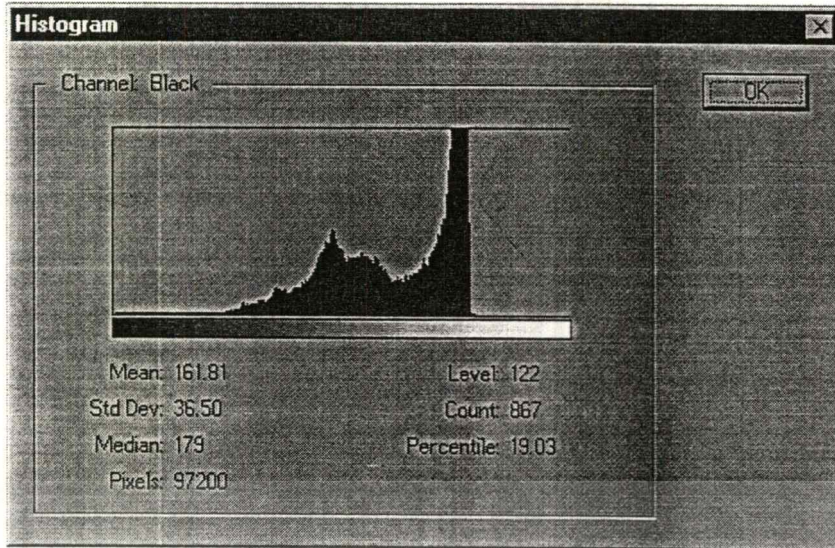
ข. ฮิสโตแกรมของภาพดั้งเดิมจากกล้อง CCD

รูปที่ 4.6 ภาพดั้งเดิมจากกล้อง CCD เมื่อเชื่อมต่อพอร์ต A โดยตรงกับพอร์ต Q และฮิสโตแกรม



ก. ภาพเมื่อผ่านคอนโวลเวอร์แบบทวินาม

เอกสารนี้เป็นเอกสารที่สงวนไว้สำหรับการใช้งานเพื่อการศึกษาเท่านั้น ไม่อนุญาตให้นำไปใช้ประโยชน์ด้านการค้า  
ไม่ว่ากรณีใดๆ ทั้งสิ้น อีกทั้งห้ามมิให้ตัดแปลงเนื้อหาและต้องอ้างอิงถึงเจ้าของเอกสารทุกครั้งที่มีการนำไปใช้



ข. ฮิสโตแกรมของภาพเมื่อผ่านคอนโวลเวอร์แบบทวินาม

รูปที่ 4.7 ภาพที่ได้หลังจากผ่านคอนโวลเวอร์แบบทวินาม



เอกสารนี้เป็นเอกสารที่สงวนไว้สำหรับการใช้งานเพื่อการศึกษาเท่านั้น ไม่อนุญาตให้นำไปใช้ประโยชน์ด้านการค้า  
ไม่ว่ากรณีใดๆ ทั้งสิ้น อีกทั้งห้ามมิให้ตัดแปลงเนื้อหาและต้องอ้างอิงถึงเจ้าของเอกสารทุกครั้งที่มีการนำไปใช้

## บทที่ 5

### สรุปและวิจารณ์

#### 5.1 วิเคราะห์ผลการทดลอง

การวัดประมวลผลภาพดิจิทัลสำหรับโครงการนี้ออกแบบเพื่อรองรับการประมวลผลใดๆ ภายในเมตริกซ์ขนาด  $3 \times 3$  เนื่องจากเป็นขนาดที่ทำให้ระบบประหยัดที่สุดในขณะที่ยังคงสามารถทำงานให้ผลเป็นที่น่าพอใจ ซึ่งจะเห็นได้ว่าภาพผลลัพธ์หลังจากผ่านระบบที่ออกแบบให้ผลลัพธ์ตามจุดประสงค์คือสามารถลดผลของสัญญาณรบกวนได้ และมีลักษณะใกล้เคียงกับภาพต้นฉบับ

สำหรับในส่วนของวงจร โดยเฉพาะอย่างยิ่งส่วนที่ทำหน้าที่ปรับรูปแบบสัญญาณให้เหมาะสม จากผลการทดลองจะเห็นได้ว่า ถึงแม้ว่ารูปสัญญาณจะมีความใกล้เคียงกับสัญญาณเดิม แต่ยังคงเห็นความผิดเพี้ยนอยู่ จากการสังเกตพบว่า ลักษณะของสัญญาณเป็นความเพี้ยนเนื่องจากแถบความถี่สูงถูกลดทอนลงไป ซึ่งอาจเกิดขึ้นจาก แถบความถี่-อัตราขยายของออปแอมป์มีค่าไม่เพียงพอ, หรือไดโอดทำงานไม่ทันกับอัตราการเปลี่ยนแปลงแรงดันของสัญญาณ ซึ่งทั้งนี้จะได้ทำการวิเคราะห์หาสาเหตุที่แท้จริงและทำการแก้ไขต่อไป

#### 5.2 ข้อดีของโครงการ

ข้อดีของโครงการสามารถจำแนกได้เป็นข้อๆ ดังนี้

- ระบบสามารถทำงานได้ในการประยุกต์ใช้งานแบบเวลาจริง
- ระบบมีความเชื่อถือได้สูงเนื่องจากจำนวนอุปกรณ์มีขนาดเล็กลง
- การเชื่อมต่อกับคอมพิวเตอร์ทำได้ง่าย
- การเปลี่ยนแปลงแก้ไขกระบวนการสามารถทำได้ผ่านทางเครื่องคอมพิวเตอร์ ทำให้เกิดความยืดหยุ่นในการใช้งาน

#### 5.3 ข้อด้อยของโครงการ

ข้อด้อยของโครงการสามารถจำแนกได้เป็นข้อๆ ดังนี้

- ระบบเริ่มต้นมีราคาสูง เหมาะสำหรับการทำเครื่องต้นแบบ หรือผลิตจำนวนน้อย
- ประสิทธิภาพถูกจำกัดอยู่ที่อุปกรณ์แวดล้อมอื่นๆ ด้วย

#### 5.4 แนวทางในการพัฒนาต่อ

แนวทางการพัฒนาต่อคือนำไปประยุกต์ใช้ในขั้นตอนประมวลผลเริ่มแรก (Pre-processing) ในกระบวนการติดตามการเคลื่อนไหว (Motion Tracking) หรือ การลดผลของสัญญาณรบกวนแบบเวลาจริง เป็นต้น

เอกสารนี้เป็นเอกสารที่สงวนไว้สำหรับการใช้งานเพื่อการศึกษาเท่านั้น ไม่อนุญาตให้นำไปใช้ประโยชน์ด้านการค้าไม่ว่ากรณีใดๆ ทั้งสิ้น อีกทั้งห้ามมิให้ดัดแปลงเนื้อหาและต้องอ้างอิงถึงเจ้าของเอกสารทุกครั้งที่มีการนำไปใช้

ภาคผนวก ก

โปรแกรมควบคุมการทำงานของการ์ดประมวลผลภาพดิจิทัลแบบโปรแกรมได้



เอกสารนี้เป็นเอกสารที่สงวนไว้สำหรับการใช้งานเพื่อการศึกษาเท่านั้น ไม่อนุญาตให้นำไปใช้ประโยชน์ด้านการค้า  
ไม่ว่ากรณีใดๆ ทั้งสิ้น อีกทั้งห้ามมิให้ตัดแปลงเนื้อหาและต้องอ้างอิงถึงเจ้าของเอกสารทุกครั้งที่มีการนำไปใช้

## เพิ่มข้อมูล ImgPro.H

```
/*
 * File      : IMGPRO.H : Image Processing Core Header
 * Project   : IMGPRO.PRJ : Digital Image Processing Card Driver*
 * Programmer : Mr Paramate HORKAEW, KMITL
 */

#ifndef IMGPRO_HEADER
#define IMGPRO_HEADER

#define IMG_WIDTH 384
#define IMG_HEIGHT 288

#define SOFT_TITLE "Reprogrammable Digital Image Processing Card"
#define SOFT_NAME "RealTimeMask -Lite (RTM for DOS)"

#define COMMAND 0x310
#define CONFIG 0x311
#define PIXDATA 0x312
#define PROGTRIG 0x313
#define WAITPORT 0x314

#define DEVICE_DELAY 900000L

#endif // IMGPRO_HEADER
```

## เพิ่มข้อมูล ImgMain.C

```
#include <stdio.h>
#include <conio.h>
#include <graphics.h>
#include <stdlib.h>
#include <dos.h>

#include "imgpro.h"
#include "imggraph.h"

#define F1 59
#define F2 60
#define F3 61
#define F4 62
#define F5 63
#define F6 64
#define F7 65
#define F8 66
#define F9 67
#define F10 68

void Help(void);
void Save(void);
void Config(void);
void Capture(void);
void Live(void);
void SetMask(int Number);
void WaitProcess(long Delay);
unsigned char Traverse(unsigned char iData);
```

เอกสารนี้เป็นเอกสารทสงวนลิขสิทธิ์ของภาควิชาวิศวกรรมคอมพิวเตอร์ มหาวิทยาลัยพระจอมเกล้าเจ้าคุณทหารลาดกระบัง ไม่อนุญาตให้นำไปใช้ประโยชน์ด้านการค้า

ไม่ว่ากรณีใดๆ ทั้งสิ้น อีกทั้งห้ามมิให้ดัดแปลงเนื้อหาและต้องอ้างอิงถึงเจ้าของเอกสารทุกครั้งที่มีการนำไปใช้

```

void    beep(void);

void    UserActivate(void);

static int Mask = 1;
static int bLive    = 1;

void    main(void)
{
    InitGraphic();
    DrawScreen();
    UserActivate();
    CloseGraphic();
}

void    UserActivate(void)
{
    char    ch;
    int     func;

    do
    {
        ch = getch();
        if (ch==0) // Function keys
        {
            func = 1;
            ch = getch();
            switch (ch)
            {
                case F1 : Help();
                    break;
                case F2 : Save();
                    break;
                case F3 : Config();
                    break;
                case F4 : Capture();
                    break;
                case F5 : Live();
                    break;
                case F10 : break;
            }
        }
        else // Normal keys
        {
            func = 0;
            SetMask(ch-0x30);
        }
    } while (!(func==1 && ch==F10));
}

void    Help(void)
{
    Message("Help");
}

void    Save(void)
{
    int     Row, Col;
    unsigned char cData;
}

```

เอกสารนี้เป็นเอกสารที่สงวนไว้สำหรับการใช้งานเพื่อการศึกษาเท่านั้น ไม่อนุญาตให้นำไปใช้ประโยชน์ด้านการค้า  
ไม่ว่ากรณีใดๆ ทั้งสิ้น อีกทั้งห้ามมิให้ดัดแปลงเนื้อหาและต้องอ้างอิงถึงเจ้าของเอกสารทุกครั้งที่มีการนำไปใช้

```

FILE*      fp;

Message("Save image to : UNTITLED.RAW");

//      Disable Interupt/DMA
asm      cli;

fp = fopen("UNTITLED.RAW", "wb");

//      Read frame from port
//      Float data bus
outportb(COMMAND, 0xF1);      //      RSTR = 0, OE = 0, RE = 1, Oths 1
inportb(PIXDATA);
//      Reset RAM Address
outportb(COMMAND, 0xF4);      //      RSTR = 1, OE = 0, RE = 0, Oths 1
inportb(PIXDATA);
outportb(COMMAND, 0xF4);      //      RSTR = 1, OE = 0, RE = 0, Oths 1
inportb(PIXDATA);

//      Enable reading
outportb(COMMAND, 0xF3);      //      RSTR = 0, OE = 1, RE = 1, Oths 1

for (Row=0; Row<IMG_HEIGHT; Row++)
{
    for (Col=0; Col<IMG_WIDTH; Col++)
    {
        //      Read Pixel
        char str[25];
        cData = inportb(PIXDATA);
        fputc(Traverse(cData), fp);
    }
}

//      Float data bus
outportb(COMMAND, 0xF1);      //      RSTR = 0, OE = 0, RE = 1, Oths 1
inportb(PIXDATA);

fclose(fp);
//      Enable Interupt/DMA
asm      sti;
Message("Save complete");
beep();
}

void      WaitProcess(long Delay)
{
    long      wait;

    for (wait=0L; wait<Delay; wait++)
        inportb(WAITPORT);
}

void      Config(void)
{
    char*      szConfigName = "MASK_.BIT";
    unsigned char cData;
    int      iData;
    int      i;
    FILE*      fp;
    long      bcnt;
}

```

เอกสารนี้เป็นเอกสารที่สงวนไว้สำหรับการใช้งานเพื่อการศึกษาเท่านั้น ไม่อนุญาตให้นำไปใช้ประโยชน์ด้านการค้า  
ไม่ว่ากรณีใดๆ ทั้งสิ้น อีกทั้งห้ามมิให้ดัดแปลงเนื้อหาและต้องอ้างอิงถึงเจ้าของเอกสารทุกครั้งที่มีการนำไปใช้

```

szConfigName[4] = Mask+0x30;

if ((fp=fopen(szConfigName, "rb"))==NULL)
    return;
//      Disable Interupt/DMA
asm      cli;

//      Float data bus
outportb(COMMAND, 0xF1);      //      RSTR = 0, OE = 0, RE = 1, Oths 1-
inportb(PIXDATA);
//      Pulse /PROGRAM "LOW" -> "HIGH"
inportb(PROGTRIG);

Message("Clear config memory, wait...");
WaitProcess(DEVICE_DELAY);
//      Ready to config
Message("Configuration, wait...");

//      Initialize shifting clock
outportb(CONFIG, cData);
do
{
    char str[15];
    iData = fgetc(fp);
    cData = Traverse((unsigned char) iData);
    //      Config Xilinx through port
    outportb(CONFIG, cData);
    for (i=0; i<7; i++)
    {
        outportb(CONFIG, cData);      //      7 shifting clock
    }
} while (iData!=EOF);

for (i=0; i<10; i++)
{
    outportb(CONFIG, 0xFF);      //      10 more shifting clock
}
//      Enable Interupt/DMA
asm      sti;
fclose(fp);

Message("Configuration complete");
beep();
}

```

```

void Capture(void)
{
    int      Row, Col;
    unsigned char cData;

    RefreshScreen();

    //      Disable Interupt/DMA
    asm      cli;

    //      Float data bus
    outportb(COMMAND, 0xF1);      //      RSTR = 0, OE = 0, RE = 1, Oths 1_
    inportb(PIXDATA);
    //      Capture frame

```

เอกสารนี้เป็นเอกสารที่สงวนไว้สำหรับการใช้งานเพื่อการศึกษาเท่านั้น ไม่อนุญาตให้นำไปใช้ประโยชน์ด้านการค้า  
ไม่ว่ากรณีใดๆ ทั้งสิ้น อีกทั้งห้ามมิให้ดัดแปลงเนื้อหาและต้องอ้างอิงถึงเจ้าของเอกสารทุกครั้งที่มีการนำไปใช้

```

Message("Capture frame, wait...");
outportb(COMMAND, 0x7F); // MAINEN = 0, Oths 1
// Frame ready
outportb(COMMAND, 0xFF); // MAINEN = 1, Oths 1
WaitProcess(270000);
// Read frame from port
// Float data bus
outportb(COMMAND, 0xF1); // RSTR = 0, OE = 0, RE = 1, Oths 1
inportb(PIXDATA);
// Reset RAM Address
outportb(COMMAND, 0xF4); // RSTR = 1, OE = 0, RE = 0, Oths 1
inportb(PIXDATA);
outportb(COMMAND, 0xF4); // RSTR = 1, OE = 0, RE = 0, Oths 1
inportb(PIXDATA);

// Enable reading
outportb(COMMAND, 0xF3); // RSTR = 0, OE = 1, RE = 1, Oths 1

for (Row=0; Row<IMG_HEIGHT; Row++)
{
    for (Col=0; Col<IMG_WIDTH; Col++)
    {
        // Read Pixel
        char str[25];
        cData = inportb(PIXDATA);
        DispPixel(Col, Row, Traverse(cData));
    }
}

// Float data bus
outportb(COMMAND, 0xF1); // RSTR = 0, OE = 0, RE = 1, Oths 1
inportb(PIXDATA);

// Enable Interrupt/DMA
asm sti;
Message("Capture complete");
beep();
}

void Live(void)
{
    // Loop : Read frame from port
    while (!kbhit())
    {
        Capture();
        delay(100);
    }
    // Clear key buffer
    if (getch()==0) getch();
}

void SetMask(int Number)
{
    if (Number>0 && Number<9)
    {
        char* szMtrxName = "MASK_MAT";
        char* msg = "Select mask number _";
        FILE* fp;
        int h[9], i;
        char szNum[5];
    }
}

```

เอกสารนี้เป็นเอกสารที่สงวนไว้สำหรับการใช้งานเพื่อการศึกษาเท่านั้น ไม่อนุญาตให้นำไปใช้ประโยชน์ด้านการค้า  
ไม่ว่ากรณีใดๆ ทั้งสิ้น อีกทั้งห้ามมิให้ดัดแปลงเนื้อหาและต้องอ้างอิงถึงเจ้าของเอกสารทุกครั้งที่มีการนำไปใช้

```

Mask = Number;
szMtrxName[4] = Mask+0x30;
msg[19] = Mask+0x30;

Message(szMtrxName);
if ((fp=fopen(szMtrxName, "rt"))==NULL)
    return;

Message(msg);
for (i=0; i<9; i++)
{
    fgets(szNum, 5, fp);
    h[i] = atoi(szNum);
}

fclose(fp);
DrawMask(h);
beep();
}

void beep(void)
{
    sound(1000);
    delay(50);
    nosound();
}

unsigned char Traverse(unsigned char iData)
{
    unsigned char oData, iMark, oMark;
    int i = 0;

    oData = 0x00;
    iMark = 0x01;
    oMark = 0x80;
    do
    {
        if (iMark&iData)
            oData |= oMark;
        iMark<<=1;
        oMark>>=1;
        i++;
    } while (i<8);
    return oData;
}

```

### เพิ่มข้อมูล ImgGraph.H

```

/*****
* File           : IMGGRAPH.H : Image Processing Graphic Header   *
* Project        : IMGPRO.PRJ : Digital Image Processing Card Driver*
* Programmer     : Mr Paramate HORKAEW, KMITL                    *
*****/

#ifndef IMGGRAPH_HEADER
#define IMGGRAPH_HEADER

#define LOGO_NAME "LOGO.RAW"

```

เอกสารนี้เป็นเอกสารที่สงวนไว้สำหรับการใช้งานเพื่อการศึกษาเท่านั้น ไม่อนุญาตให้นำไปใช้ประโยชน์ด้านการค้า  
ไม่ว่ากรณีใดๆ ทั้งสิ้น อีกทั้งห้ามมิให้ดัดแปลงเนื้อหาและต้องอ้างอิงถึงเจ้าของเอกสารทุกครั้งที่มีการนำไปใช้

```

#define      LOGO_LEFT      540
#define      LOGO_TOP      339

// super vga 256 colors
typedef unsigned char DacPalette256[256][3];
extern int far _Cdecl Svga256_fdriver[];
int  InitGraphic(void);
void CloseGraphic(void);
void SetPalette(int sform);
void DrawScreen(void);
void DrawMask(int* h);
void DispPixel(int x, int y, int data256);
void RefreshScreen(void);
void Message(char* text);

#endif      //      IMGGRAPH_HEADER

```

### เพิ่มข้อมูล ImgGraph.C

```

#include <stdio.h>
#include <graphics.h>
#include <dos.h>
#include <string.h>
#include <stdlib.h>
#include "imgpro.h"
#include "imggraph.h"

void      setvgapalette256(DacPalette256 * PalBuf);
int huge DetectVGA256(void);
void      DrawButton(int x, int y, int width, int height, char* text);
void      DrawLogo(void);

int      left, top;

int InitGraphic(void)
{
    int gr_driver=DETECT, gr_mode, errorcode;

    installuserdriver("Svga256", DetectVGA256);
    registerfarbgidriver(Svga256_fdriver);
    initgraph(&gr_driver, &gr_mode, "");
    errorcode = graphresult(); // read result of initialization
    if (errorcode != grOk) // an error occurred
    {
        printf("Graphics initialization");
        return -1;
    }
    settxtstyle(DEFAULT_FONT, HORIZ_DIR, 1);
    settxtjustify(LEFT_TEXT, CENTER_TEXT);
    setfillstyle(SOLID_FILL, BLACK);
    SetPalette(1); // set gray palette full range

    left      = (getmaxx()-IMG_WIDTH)/2;
    top       = (getmaxy()-IMG_HEIGHT)/2;

    return 0;
}

```

เอกสารนี้เป็นเอกสารที่สงวนไว้สำหรับการใช้งานเพื่อการศึกษาเท่านั้น ไม่อนุญาตให้นำไปใช้ประโยชน์ด้านการค้า  
ไม่ว่ากรณีใดๆ ทั้งสิ้น อีกทั้งห้ามมิให้ดัดแปลงเนื้อหาและต้องอ้างอิงถึงเจ้าของเอกสารทุกครั้งที่มีการนำไปใช้

```

void CloseGraphic(void)
{
    closegraph();
}

int huge DetectVGA256(void)
{
    return 2;          // Svcg 640 x 480 x 256
}

void setvgapalette256(DacPalette256 * PalBuf)
{
    struct REGPACK reg;

    reg.r_ax = 0x1012;
    reg.r_bx = 0;
    reg.r_cx = 256;
    reg.r_es = FP_SEG(PalBuf);
    reg.r_dx = FP_OFF(PalBuf);
    intr(0x10, &reg);
}

void SetPalette(int sform) /* 0-adjust, 1-reset */
{
    int i, NWL, NWH, OWL, OWH, sp, ep;
    static unsigned char palette[256][3];
    float delta, ps;

    if(sform)
    {
        for (i = 0; i < 64; i++)
        {
            palette[i][0] = palette[i][1] = palette[i][2] = i;
        }
    }
    setvgapalette256(&palette);
    setcolor(63);
}

void DrawButton(int x, int y, int width, int height, char* text)
{
    setcolor(48);
    rectangle(x, y, x+width, y+height);
    setcolor(63);
    outtextxy(x+(width-(strlen(text)*8))/2, y+height/2, text);
}

void DrawScreen(void)
{
    char* szSoftTitle = SOFT_TITLE;
    char* szSoftName = SOFT_NAME;

    setcolor(63);
    outtextxy((getmaxx()-strlen(szSoftTitle)*8)/2, 35, szSoftTitle);
    outtextxy((getmaxx()-strlen(szSoftName)*8)/2, 50, szSoftName);

    // Draw frame
    rectangle(left-1, top-1, left+IMG_WIDTH, top+IMG_HEIGHT);
}

```

เอกสารนี้เป็นเอกสารที่สงวนไว้สำหรับการใช้งานเพื่อการศึกษาเท่านั้น ไม่อนุญาตให้นำไปใช้ประโยชน์ด้านการค้า  
ไม่ว่ากรณีใดๆ ทั้งสิ้น อีกทั้งห้ามมิให้ดัดแปลงเนื้อหาและต้องอ้างอิงถึงเจ้าของเอกสารทุกครั้งที่มีการนำไปใช้

```

//      Draw function buttons
DrawButton( 20, 430, 90, 30, "F1-HELP");
DrawButton(120, 430, 90, 30, "F2-SAVE");
DrawButton(220, 430, 90, 30, "F3-CONFIG");
DrawButton(320, 430, 90, 30, "F4-CAPTURE");
DrawButton(420, 430, 90, 30, "F5-LIVE");
DrawButton(520, 430, 90, 30, "F10-QUIT");

//      Draw mask button
DrawButton(10, top, 30, 30, "1");
DrawButton(50, top, 30, 30, "2");
DrawButton(10, top+40, 30, 30, "3");
DrawButton(50, top+40, 30, 30, "4");

//      Draw Mask
DrawMask(NULL);

DrawLogo();
}

void DrawMask(int* h)
{
    int    i, j;

    bar(10, 304, 100, 394);
    for (i=0; i<3; i++)
        for (j=0; j<3; j++)
            {
                if (h!=NULL)
                {
                    char    element[4];
                    itoa(h[3*i+j], element, 10);
                    DrawButton(10+(30*j), 304+(30*i), 30, 30, element);
                }
                else
                    DrawButton(10+(30*j), 304+(30*i), 30, 30, "#");
            }
}

void DrawLogo()
{
    unsigned char    cWidth, cHeight, i, j;
    unsigned char*   aLine;
    FILE*    fp;

    if ((fp=fopen(LOGO_NAME, "rb"))==NULL)
        return;

    fread(&cWidth, sizeof(cWidth), 1, fp);
    fread(&cHeight, sizeof(cHeight), 1, fp);

    if ((aLine=(unsigned char *) malloc(cWidth))==NULL)
        return;

    for (i=0; i<cHeight; i++)
    {
        fread(aLine, sizeof(unsigned char), cWidth, fp);
        for (j=0; j<cWidth; j++)
            {
                int    pixel = aLine[j]/4;

```

เอกสารนี้เป็นเอกสารที่สงวนไว้สำหรับการใช้งานเพื่อการศึกษาเท่านั้น ไม่อนุญาตให้นำไปใช้ประโยชน์ด้านการค้า  
ไม่ว่ากรณีใดๆ ทั้งสิ้น อีกทั้งห้ามมิให้ดัดแปลงเนื้อหาและต้องอ้างอิงถึงเจ้าของเอกสารทุกครั้งที่มีการนำไปใช้

```

        putpixel(LOGO_LEFT+j, LOGO_TOP+i, pixel);
    }
}

if (aLine)
    free(aLine);
fclose(fp);
}

void DispPixel(int x, int y, int data256)
{
    if (x>22 && y>7)
        putpixel(left+x-22, top+y-7, data256/4);
}

void RefreshScreen()
{
    bar(left-1, top-1, left+IMG_WIDTH, top+IMG_HEIGHT);
    rectangle(left-1, top-1, left+IMG_WIDTH, top+IMG_HEIGHT);
}

void Message(char* text)
{
    bar(left, top+IMG_HEIGHT+10, left+IMG_WIDTH, top+IMG_HEIGHT+20);
    setcolor(63);
    outtextxy(left, top+IMG_HEIGHT+15, "^");
    setcolor(56);
    outtextxy(left+16, top+IMG_HEIGHT+15, text);
}

```



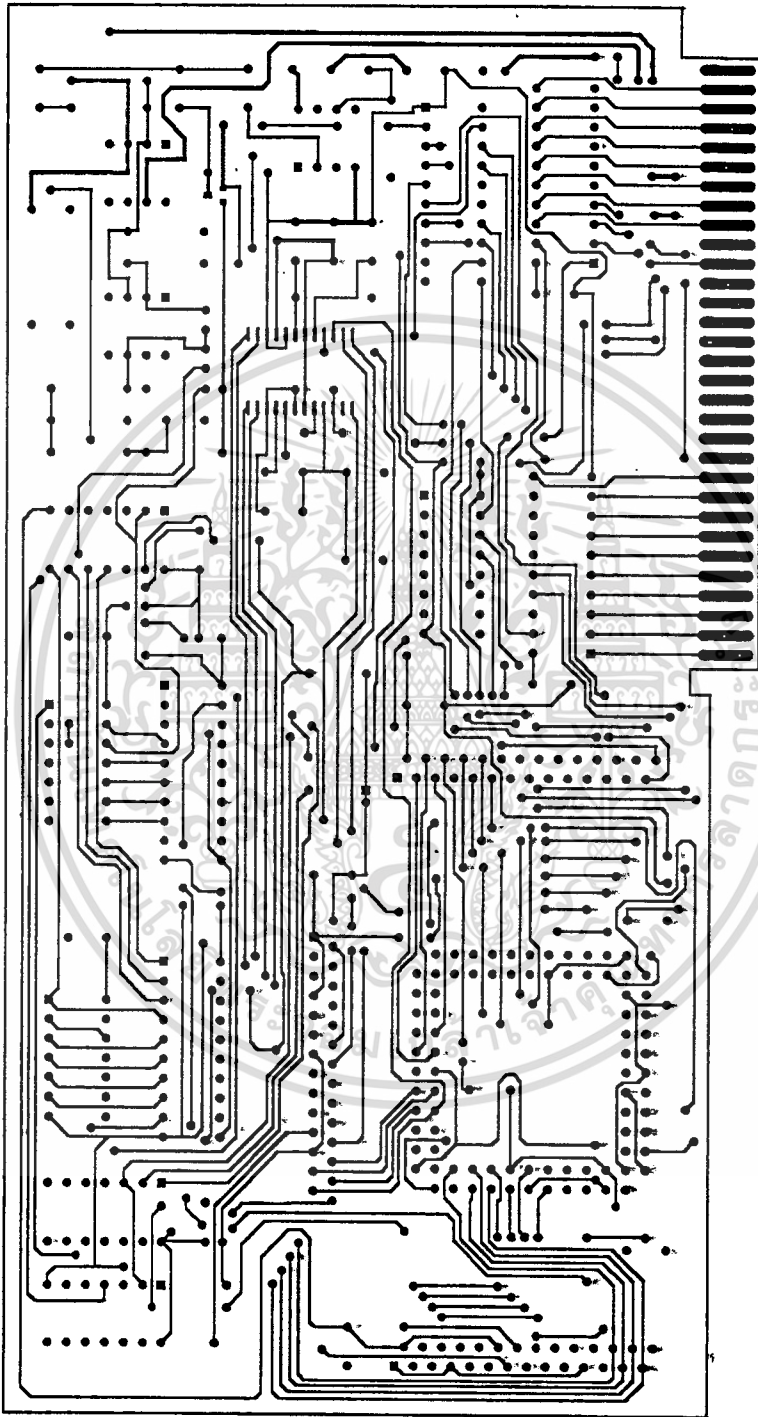
เอกสารนี้เป็นเอกสารที่สงวนไว้สำหรับการใช้งานเพื่อการศึกษาเท่านั้น ไม่อนุญาตให้นำไปใช้ประโยชน์ด้านการค้า  
ไม่ว่ากรณีใดๆ ทั้งสิ้น อีกทั้งห้ามมิให้ดัดแปลงเนื้อหาและต้องอ้างอิงถึงเจ้าของเอกสารทุกครั้งที่มีการนำไปใช้

ภาคผนวก ข

แผนวงจรพิมพ์ของการ์ดประมวลผลภาพดิจิทัลแบบโปรแกรมได้

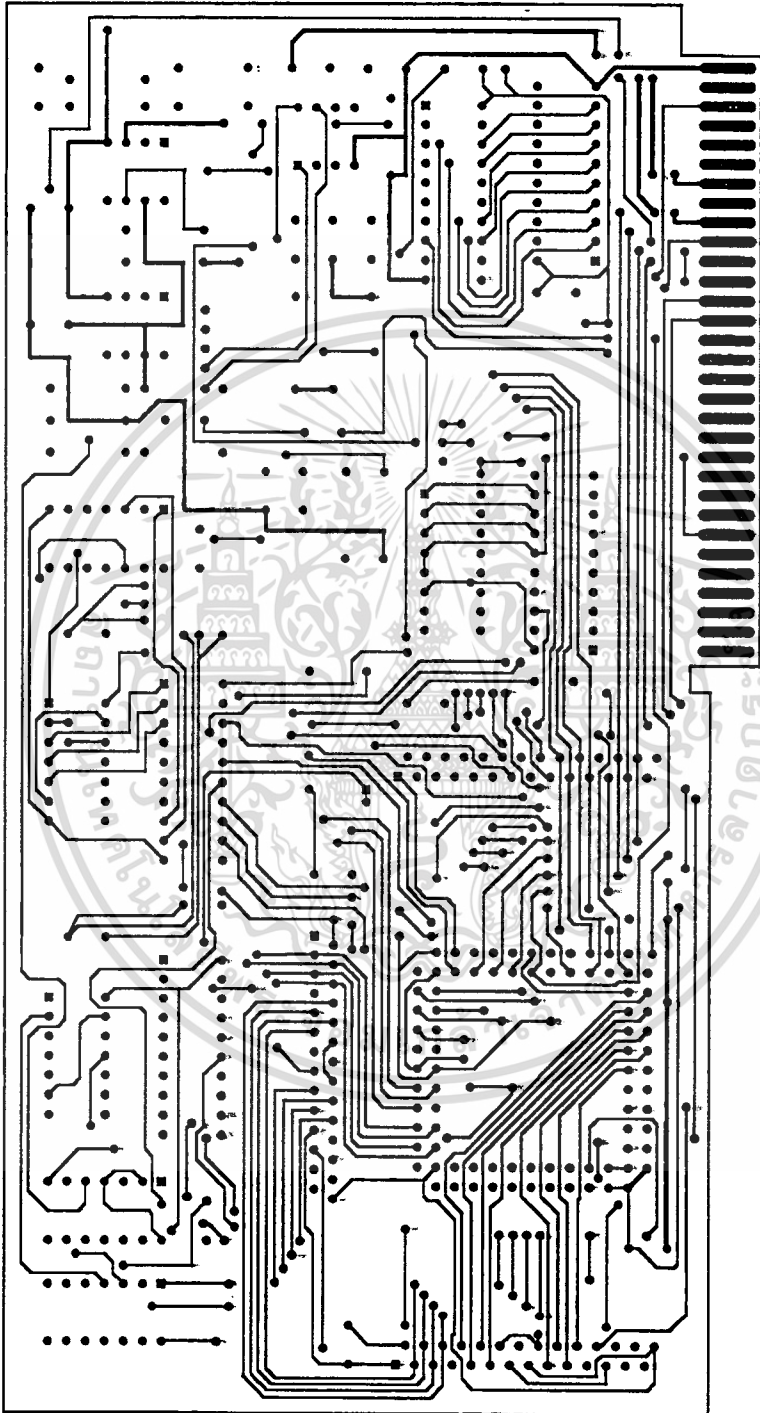


เอกสารนี้เป็นเอกสารที่สงวนไว้สำหรับการใช้งานเพื่อการศึกษาเท่านั้น ไม่อนุญาตให้นำไปใช้ประโยชน์ด้านการค้า  
ไม่ว่ากรณีใดๆ ทั้งสิ้น อีกทั้งห้ามมิให้ดัดแปลงเนื้อหาและต้องอ้างอิงถึงเจ้าของเอกสารทุกครั้งที่มีการนำไปใช้



ด้านบน

เอกสารนี้เป็นเอกสารที่สงวนไว้สำหรับการใช้งานเพื่อการศึกษาเท่านั้น ไม่อนุญาตให้นำไปใช้ประโยชน์ด้านการค้า  
ไม่ว่ากรณีใดๆ ทั้งสิ้น อีกทั้งห้ามมิให้ดัดแปลงเนื้อหาและต้องอ้างอิงถึงเจ้าของเอกสารทุกครั้งที่มีการนำไปใช้



ด้านล่าง

เอกสารนี้เป็นเอกสารที่สงวนไว้สำหรับการใช้งานเพื่อการศึกษาเท่านั้น ไม่อนุญาตให้นำไปใช้ประโยชน์ด้านการค้า  
ไม่ว่ากรณีใดๆ ทั้งสิ้น อีกทั้งห้ามมิให้ดัดแปลงเนื้อหาและต้องอ้างอิงถึงเจ้าของเอกสารทุกครั้งที่มีการนำไปใช้

## กิตติกรรมประกาศ

ในโอกาสนี้ขอขอบพระคุณ ดร.ยุทธพงศ์ รังสรรค์เสรี ซึ่งเป็นผู้แนะนำให้คำปรึกษาเทคนิคและวิธีการออกแบบโครงการงาน ดร.สุธี ผู้เจริญชนะชัย ที่ให้โอกาสและแนะแนวทางในการวิจัยที่ถูกต้อง นพ.รามเมศวร วชิรสินธุ์ ผู้จุดประกายเริ่มต้นสำหรับโครงการนี้ และสนับสนุนสถานที่พร้อมทั้งอุปกรณ์ในการทดสอบ คุณสมชาย เกียรติอารีกุล ที่อบรมและฝึกฝนการเขียนโปรแกรมให้ข้าพเจ้า และขอขอบคุณ คุณมณีสุดา ชะมด ซึ่งเป็นกำลังใจให้เสมอมาจนโครงการนี้สำเร็จลุล่วงไปด้วยดี สุดท้ายนี้ขอกราบขอบพระคุณ คุณแคตตี้ และคุณบัวงาม ห่อแก้ว ที่คอยสอบถามความก้าวหน้าและห่วงใยอยู่เสมอ



เอกสารนี้เป็นเอกสารที่สงวนไว้สำหรับการใช้งานเพื่อการศึกษาเท่านั้น ไม่อนุญาตให้นำไปใช้ประโยชน์ด้านการค้า  
ไม่ว่ากรณีใดๆ ทั้งสิ้น อีกทั้งห้ามมิให้ตัดแปลงเนื้อหาและต้องอ้างอิงถึงเจ้าของเอกสารทุกครั้งที่มีการนำไปใช้

## เอกสารอ้างอิง

1. Ronald N. Bracewell, TWO-DIMENSIONAL IMAGING, 1995, Prentice-Hall International, Inc.
2. Robert J. Schalkoff, DIGITAL IMAGE PROCESSING AND COMPUTER VISION, 1989, John Wiley & Sons, Inc.
3. John C. Russ, THE IMAGE PROCESSING HANDBOOK 2<sup>nd</sup> Edition, 1994, CRC Press
4. D. M. Etter, ENGINEERING PROBLEM SOLVING WITH MATLAB, 1993, Prentice-Hall International, Inc.
5. Adrian Brian/Moshe Breiner ,MATLAB FOR ENGINEERING, 1995, Addison-Wesley
6. David F. Stout/Milton Kaufman, HANDBOOK OF OPERATIONAL AMPLIFIER-CIRCUIT DESIGN, 1976, McGraw-Hill Book Company
7. David Pellerin/Michael Holley, DIGITAL DESIGN USING ABEL, 1994, Prentice-Hall International, Inc.
8. Vinai Piyatanasirikul and Somchai Jitapunkul, Application of Digital Image Processing for Cracking on Road Surface, 2540, การประชุมวิชาการทางวิศวกรรมไฟฟ้า ครั้งที่ 20
9. ดร.ไพรัช รัชชพงษ์, การประมวลสัญญาณดิจิทัล ตอนการออกแบบวงจรกรองดิจิทัล, 2535, ศูนย์เทคโนโลยีอิเล็กทรอนิกส์และคอมพิวเตอร์แห่งชาติ
10. ปรมศวรร ห่อแก้ว และ ผศ.ดร.ยุทธพงษ์ รังสรรค์เสรี, การวัดประมวลผลภาพดิจิทัลแบบโปรแกรมได้, 2542, การประชุมวิชาการแห่งมหาวิทยาลัยเกษตรศาสตร์ ครั้งที่ 37

เอกสารนี้เป็นเอกสารที่สงวนไว้สำหรับการใช้งานเพื่อการศึกษาเท่านั้น ไม่อนุญาตให้นำไปใช้ประโยชน์ด้านการค้า  
ไม่ว่ากรณีใดๆ ทั้งสิ้น อีกทั้งห้ามมิให้ตัดแปลงเนื้อหาและต้องอ้างอิงถึงเจ้าของเอกสารทุกครั้งที่มีการนำไปใช้